

第5章 连续时间系统的频域分析

5.1 连续时间系统的频率响应特性

5.2 信号的传输与滤波

5.3 信号的采样

5.4 调制与解调

5.5 信号的频域采样与复用

5.6 MATLAB在信息处理与通信中的应用

5.1 线性时不变连续时间系统的频率响应特性

5.1.1 频率响应特性

复指数函数 $x(t) = e^{j\Omega_0 t}$ ($-\infty < t < +\infty$), 对于冲激响应为 $h(t)$ 的LTI系统的响应。

系统的零状态输出

$$y(t) = x(t) * h(t) = \int_{-\infty}^{\infty} h(\tau) e^{j\Omega_0(t-\tau)} d\tau = e^{j\Omega_0 t} \int_{-\infty}^{\infty} h(\tau) e^{-j\Omega_0 \tau} d\tau$$

非周期信号的傅里叶变换定义, 可得

$$\int_{-\infty}^{\infty} h(\tau) e^{-j\Omega_0 \tau} d\tau = \mathcal{F}[h(t)] \Big|_{\Omega=\Omega_0} = H(j\Omega) \Big|_{\Omega=\Omega_0}$$

则: $y(t) = e^{j\Omega_0 t} H(j\Omega_0)$

对于复指数输信号 $e^{j\Omega_0 t}$, LTI系统的输出是具有相同频率的复数信号乘上复常数 $H(j\Omega_0)$

5.1 线性时不变连续时间系统的频率响应特性

$H(j\Omega_0)$ 是一个复数，其值决定 Ω_0

若输入信号的频率 Ω 改变，

$$\int_{-\infty}^{\infty} h(\tau) e^{-j\Omega\tau} d\tau = \mathcal{F}[h(t)] = H(j\Omega)$$

上式定义的量称为LTI连续时间系统的频率响应特性

提供了系统的一个频域描述，是系统冲激响应 $h(t)$ 的傅里叶变换。可以将频响特性表示为

$$H(j\Omega) = |H(j\Omega)| e^{j\varphi(\Omega)}$$

$|H(j\Omega)|$ 是幅频响应特性 (amplitude frequency response)
(或称幅频特性)

$\varphi(\Omega)$ 是相频响应特性 (phase frequency response)
(或称相频特性)

5.1 线性时不变连续时间系统的频率响应特性

若已知输入为 $x(t)$ ，系统冲激响应为 $h(t)$

则系统的零状态响应为 $y(t) = x(t) * h(t)$

$$Y(j\Omega) = X(j\Omega) \cdot H(j\Omega)$$

$$H(j\Omega) = \frac{Y(j\Omega)}{X(j\Omega)} \quad (5.1-8) \quad \text{系统的频域分析法}$$

从物理学的概念来分析，如果输入信号的频谱密度函数为 $X(j\Omega)$ ，则输出信号的频谱密度函数 $Y(j\Omega)$ 由频率响应 $H(j\Omega)$ 对输入信号各频率分量进行加权，某些频率分量幅度增强，而另些频率分量则相对削弱或不变。

同时对相位产生各自不同的相移，因此线性系统具有频率保持性质，即信号通过线性系统不会产生新的频率分量。

5.1 线性时不变连续时间系统的频率响应特性

5.1.2 频率响应特性的求解

求系统的频率响应。一般有三种方法

第一种方法根据冲激响应和频响特性的关系，对系统的冲激响应求傅里叶变换，即可得到系统的频率响应；第二种方法是利用式(5.1-8)，对微分方程两边取傅里叶变换，利用傅里叶变换的微分性质，直接求得系统的频率响应；第三种方法是利用电路模型直接求解。

例5.1-1 已知系统的微分方程为

$$2\frac{d^2y(t)}{dt^2} + 5\frac{dy(t)}{dt} + 2y(t) = \frac{dx(t)}{dt} + 5x(t)$$

求频率响应 $H(j\Omega)$

5.1 线性时不变连续时间系统的频率响应特性

例5.1-1 已知系统的微分方程为

$$2\frac{d^2 y(t)}{dt^2} + 5\frac{dy(t)}{dt} + 2y(t) = \frac{dx(t)}{dt} + 5x(t) \quad \text{求频率响应 } H(j\Omega)$$

解法一：应用2.5节的方法，先求得系统的冲激响应

$$h(t) = (1.5e^{-0.5t} - e^{-2t})u(t)$$

$$H(j\Omega) = \mathcal{F}[h(t)] = \frac{1.5}{j\Omega + 0.5} - \frac{1}{j\Omega + 2}$$

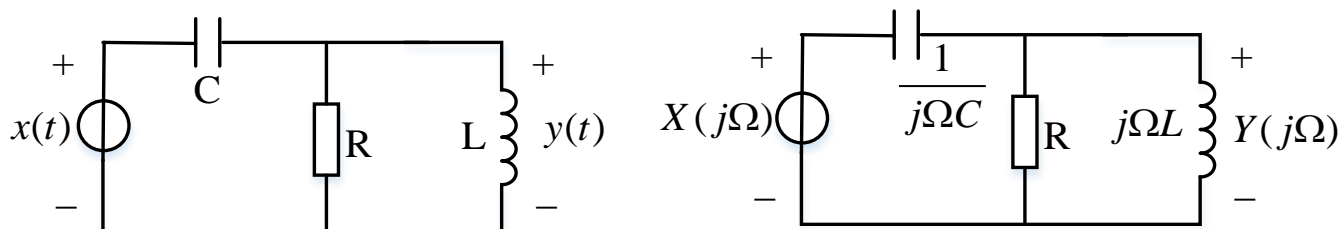
解法二：方程两边取傅里叶变换，得

$$2(j\Omega)^2 Y(j\Omega) + 5(j\Omega)Y(j\Omega) + 2Y(j\Omega) = (j\Omega)X(j\Omega) + 5X(j\Omega)$$

$$H(j\Omega) = \frac{Y(j\Omega)}{X(j\Omega)} = \frac{j\Omega + 5}{2(j\Omega)^2 + 5(j\Omega) + 2} = \frac{1.5}{j\Omega + 0.5} - \frac{1}{j\Omega + 2}$$

5.1 线性时不变连续时间系统的频率响应特性

例5.1-2 如图所示，若电感两端电压作为系统输出，求该电路的频响特性



解： 用 $1/j\Omega C$, $j\Omega L$ 分别表示容抗与感抗

在频域分析时，将时域的电路模型用频域模型代替

写出电路各元件的频域约束关系，根据输出电压与输入电压的关系，有

$$H(j\Omega) = \frac{Y(j\Omega)}{X(j\Omega)} = \frac{\frac{j\Omega LR}{j\Omega L + R}}{\frac{1}{j\Omega C} + \frac{j\Omega LR}{j\Omega L + R}} = \frac{j\Omega LR}{j\Omega L + R - \Omega^2 RLC}$$

5.1 线性时不变连续时间系统的频率响应特性

5.1.3 线性系统对激励信号的响应

例5.1-3 已知系统的频率响应 $H(j\Omega) = \frac{1}{j\Omega + 1}$ ，输入信号

$x(t) = (1 + e^{-t})u(t)$ ，试利用频率应求系统输出 $y(t)$

解：输入信号频谱为： $X(j\Omega) = \mathcal{F}[x(t)] = \pi\delta(\Omega) + \frac{1}{j\Omega} + \frac{1}{j\Omega + 1}$

输出信号频谱为：

$$\begin{aligned} Y(j\Omega) &= X(j\Omega) \cdot H(j\Omega) = \frac{1}{j\Omega + 1} \left[\pi\delta(\Omega) + \frac{1}{j\Omega} + \frac{1}{j\Omega + 1} \right] \\ &= \frac{1}{j\Omega + 1} \pi\delta(\Omega) + \frac{1}{j\Omega(j\Omega + 1)} + \frac{1}{(j\Omega + 1)^2} \\ &= \pi\delta(\Omega) + \left[\frac{1}{j\Omega} - \frac{1}{j\Omega + 1} \right] + \frac{1}{(j\Omega + 1)^2} \end{aligned}$$

5.1 线性时不变连续时间系统的频率响应特性

$$Y(j\Omega) = X(j\Omega) \cdot H(j\Omega) = \pi\delta(\Omega) + \left[\frac{1}{j\Omega} - \frac{1}{j\Omega+1}\right] + \frac{1}{(j\Omega+1)^2}$$

$$\mathcal{F}^{-1}[\pi\delta(\Omega)] = \frac{1}{2} \quad \mathcal{F}^{-1}\left[\frac{1}{j\Omega} - \frac{1}{j\Omega+1}\right] = \frac{1}{2}\text{sgn}(t) - e^{-t}u(t)$$

$$\mathcal{F}^{-1}\left[\frac{1}{(j\Omega+1)^2}\right] = \mathcal{F}^{-1}\left[j\frac{d}{d\Omega}\left(\frac{1}{j\Omega+1}\right)\right] = j[-jte^{-t}u(t)] = te^{-t}u(t)$$

输出信号为:

$$y(t) = \frac{1}{2} + \frac{1}{2}\text{sgn}(t) - e^{-t}u(t) + te^{-t}u(t) = [1 - e^{-t} + te^{-t}]u(t)$$

傅里叶分析方法从频谱改变的角度解释输入与输出信号的变换，物理概念清楚，但求解过程相对比较烦琐

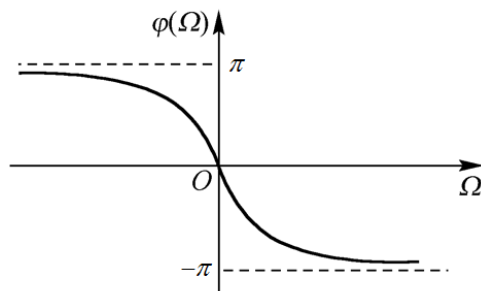
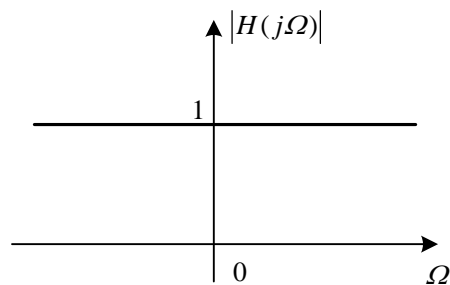
5.1 线性时不变连续时间系统的频率响应特性

例5.1-4 已知LTI系统的频率响应为： $H(j\Omega) = \frac{j\Omega - 1}{j\Omega + 1}$ ，输入信号 $x(t) = \sin t + \sin 2t$ ，试画出 $H(j\Omega)$ 的幅频特性与相频特性，并求输出 $y(t)$

解：幅频特性 $|H(j\Omega)| = \sqrt{\frac{\Omega^2 + 1}{\Omega^2 + 1}} = 1$

相频特性 $\varphi(\Omega) = 2 \arctan(-\Omega)$

频率响应可以写成： $H(j\Omega) = e^{j2 \arctan(-\Omega)}$



该系统的幅频特性为常数，对输入信号所有的频率分量都可以通过，因此称为全通系统。

5.1 线性时不变连续时间系统的频率响应特性

输入信号频谱为：

$$X(j\Omega) = F[x(t)] = j\pi[\delta(\Omega+1) - \delta(\Omega-1)] + j\pi[\delta(\Omega+2) - \delta(\Omega-2)]$$

输出信号频谱为

$$Y(j\Omega) = X(j\Omega) \cdot H(j\Omega)$$

$$= e^{j2\arctan(-\Omega)} \{ j\pi[\delta(\Omega+1) - \delta(\Omega-1)] + j\pi[\delta(\Omega+2) - \delta(\Omega-2)] \}$$

$$= j\pi[e^{j2\arctan 1}\delta(\Omega+1) - e^{-j2\arctan 1}\delta(\Omega-1)] + j\pi[e^{j2\arctan 2}\delta(\Omega+2) - e^{-j2\arctan 2}\delta(\Omega-2)]$$

输出信号为：

$$\begin{aligned} y(t) &= \mathcal{F}^{-1}[Y(j\Omega)] = \frac{j}{2}[e^{j90^\circ}e^{-jt} - e^{-j90^\circ}e^{jt}] + \frac{j}{2}[e^{j126^\circ 87'}e^{-j2t} - e^{-j126^\circ 87'}e^{j2t}] \\ &= \sin(t - 90^\circ) + \sin(2t - 126^\circ 87') \end{aligned}$$

输入信号与输出信号为同频率正弦波，虽然全通系统的幅频特性为常数，但相频特性为非线性，因而输入信号的不同频率分量对应的延迟时间不同，造成输出信号的相位失真。

5.2 信号的传输与滤波

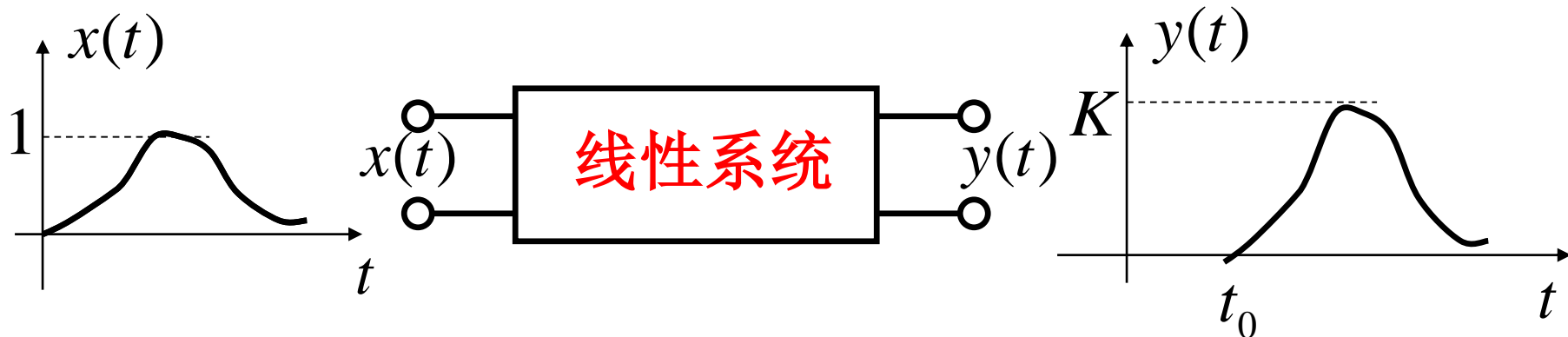
5.2.1 无失真传输

信号无失真传输是指响应信号与激励信号相比，只有幅度大小和出现时间的不同，而没有波形上的变化。

1. 时域条件

$$y(t) = Kx(t - t_0) \quad (5.2-1)$$

其中： K ----- 常数， t_0 ----- 滞后时间



5.2.1 无失真传输

2. 频域条件

$$y(t) = Kx(t - t_0) \quad (5.2-1)$$

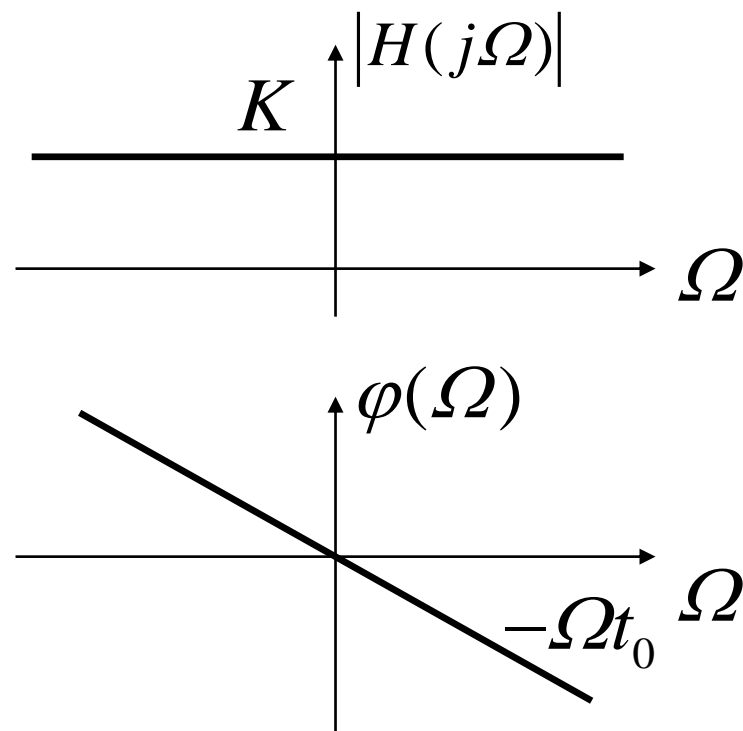
对式 (5.2-1) 两边取傅氏变换, 得:

$$\begin{aligned} Y(j\Omega) &= Ke^{-j\Omega t_0} X(j\Omega) \\ &= H(j\Omega) X(j\Omega) \end{aligned}$$

$$\therefore H(j\Omega) = Ke^{-j\Omega t_0} \quad (5.2-2)$$

即

$$\begin{cases} |H(j\Omega)| = K \\ \varphi(\Omega) = -\Omega t_0 \end{cases} \quad (5.2-3)$$



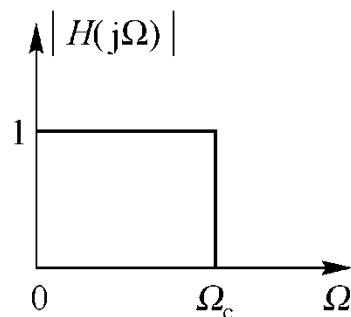
5.2.1 无失真传输

无失真传输系统应满足如下两个条件：

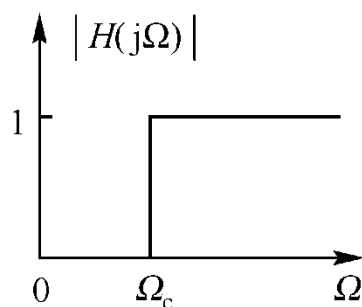
- (1) 系统的幅频特性在整个频率范围内为常数；
- (2) 系统的相频特性在整个频率范围内应与 Ω 成正比变化。

5.2.2 理想滤波器

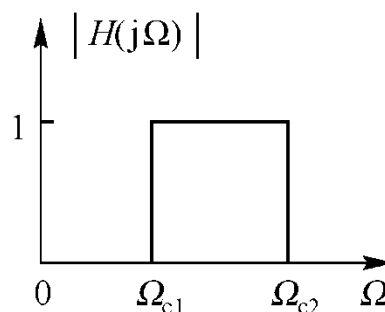
理想滤波器：在通带（**pass-band**）内，滤波器的幅频特性为常数，相频特性呈线性；而在阻带（**stop-band**）内，滤波器的幅频特性立即降为零。



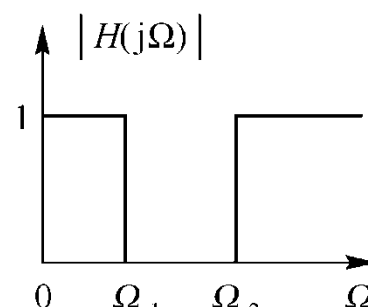
(a) 低通



(b) 高通



(c) 带通



(d) 带阻

5.2.2 理想滤波器

1. 理想低通滤波器

理想低通滤波器是将频率低于 Ω_c 的所有信号予以无失真地传输，而将频率高于 Ω_c 的信号完全抑制。

$$H(j\Omega) = |H(j\Omega)|e^{j\varphi(\Omega)} = \begin{cases} e^{-j\Omega t_0} & |\Omega| < \Omega_c \\ 0 & |\Omega| > \Omega_c \end{cases} \quad (5.2-4)$$

$$= e^{-j\Omega t_0} [u(\Omega + \Omega_c) - u(\Omega - \Omega_c)]$$

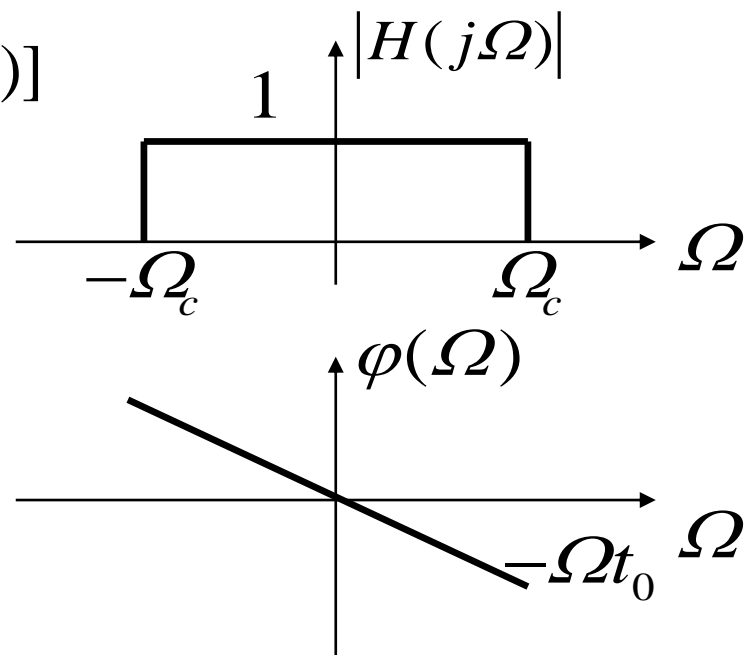
或

$$|H(j\Omega)| = \begin{cases} 1 & |\Omega| < \Omega_c \\ 0 & |\Omega| > \Omega_c \end{cases}$$

$$= u(\Omega + \Omega_c) - u(\Omega - \Omega_c)$$

$$\varphi(\Omega) = -\Omega t_0$$

Ω_c ----- 截止频率



5.2.2 理想滤波器

(1) 冲激响应

$$H(j\Omega) = |H(j\Omega)| e^{j\varphi(\Omega)} = \begin{cases} e^{-j\Omega t_0} & |\Omega| < \Omega_c \\ 0 & |\Omega| > \Omega_c \end{cases}$$

$$h(t) = \mathcal{F}^{-1} [H(j\Omega)]$$

$$= \frac{1}{2\pi} \int_{-\infty}^{\infty} H(j\Omega) e^{j\Omega t} d\Omega$$

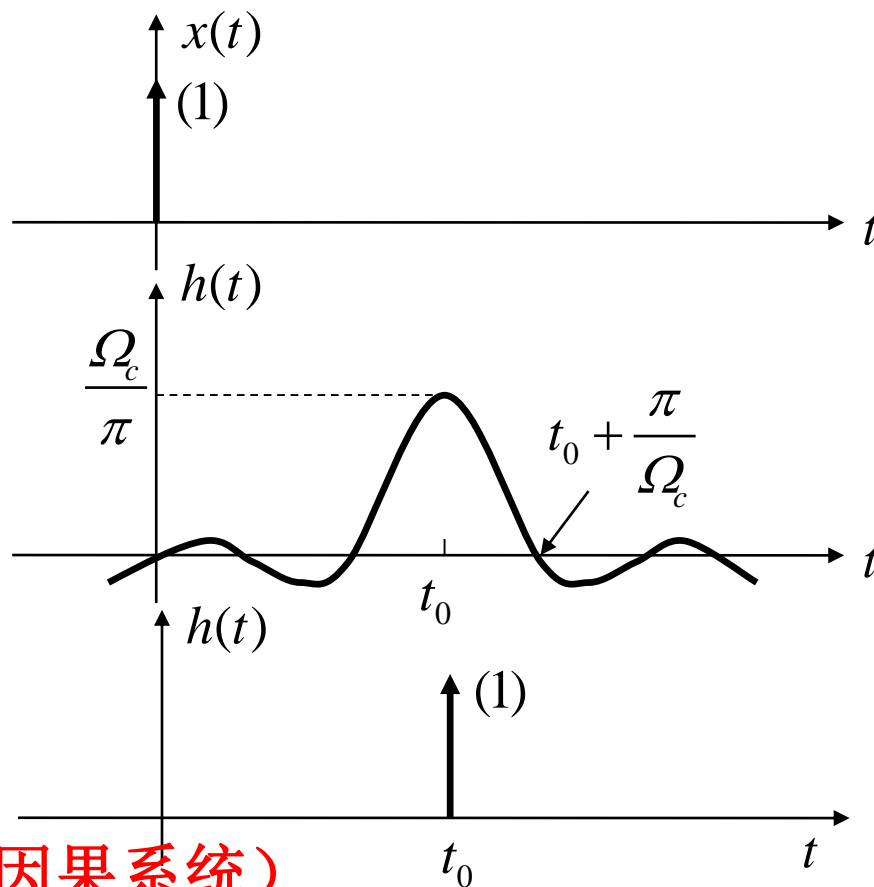
$$= \frac{1}{2\pi} \int_{-\Omega_c}^{\Omega_c} e^{-j\Omega t_0} e^{j\Omega t} d\Omega$$

$$= \frac{\Omega_c}{\pi} \text{Sa}[\Omega_c(t - t_0)]$$

当 $\Omega_c \rightarrow \infty$ 时, $h(t) = \delta(t - t_0)$

$h(t)$ 的特点:

响应超前于激励 (非因果系统)



5.2.2 理想滤波器

(2) 阶跃响应

$$h(t) = \frac{\Omega_c}{\pi} \text{Sa}[\Omega_c(t - t_0)]$$

$$g(t) = \int_{-\infty}^t h(\tau) d\tau = \frac{\Omega_c}{\pi} \int_{-\infty}^t \frac{\sin[\Omega_c(\tau - t_0)]}{\Omega_c(\tau - t_0)} d\tau$$

令 $x = \Omega_c(\tau - t_0)$, 则

$$d\tau = \frac{1}{\Omega_c} dx, \text{ 当 } \tau = -\infty \text{ 时, } x = -\infty, \text{ 当 } \tau = t \text{ 时, } x = \Omega_c(t - t_0)$$

$$g(t) = \frac{\Omega_c}{\pi} \int_{-\infty}^{\Omega_c(t-t_0)} \frac{\sin x}{x} \frac{1}{\Omega_c} dx$$

$$= \frac{1}{\pi} \int_{-\infty}^0 \frac{\sin x}{x} dx + \frac{1}{\pi} \int_0^{\Omega_c(t-t_0)} \frac{\sin x}{x} dx$$

5.2.2 理想滤波器

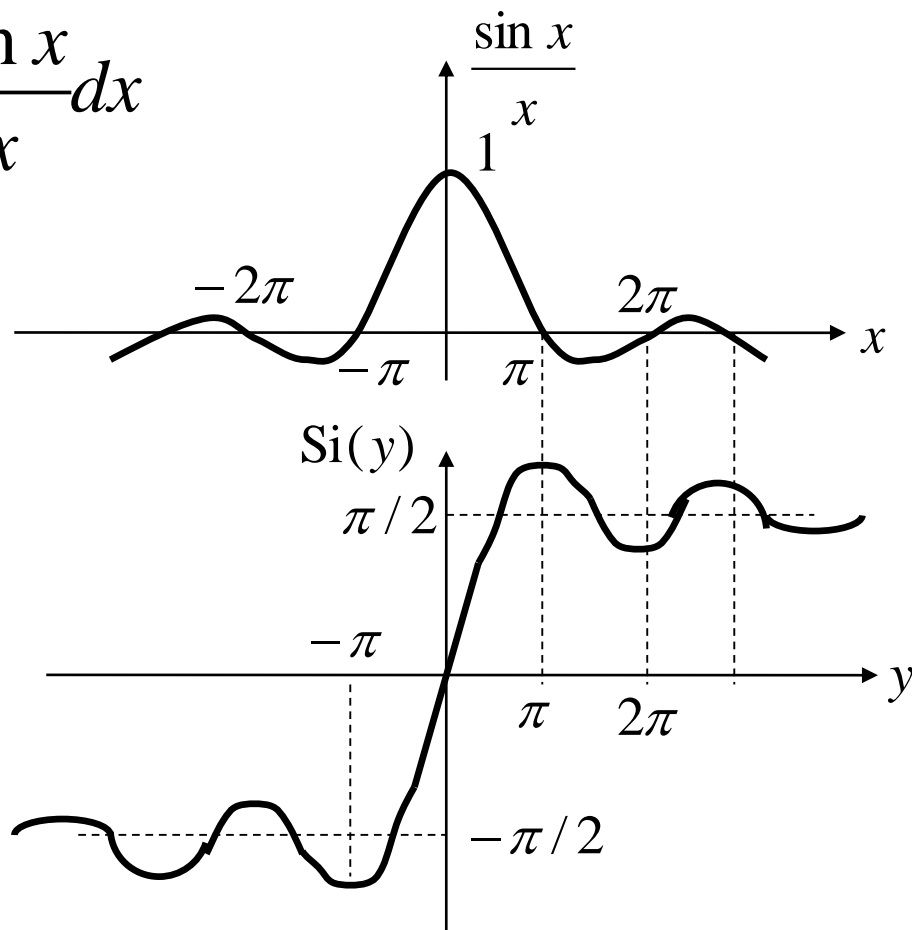
$$g(t) = \frac{1}{\pi} \int_{-\infty}^0 \frac{\sin x}{x} dx + \frac{1}{\pi} \int_0^{\Omega_c(t-t_0)} \frac{\sin x}{x} dx$$

$$= \frac{1}{2} + \frac{1}{\pi} \int_0^{\Omega_c(t-t_0)} \frac{\sin x}{x} dx$$

$$\int_0^y \frac{\sin x}{x} dx = \text{Si}(y)$$

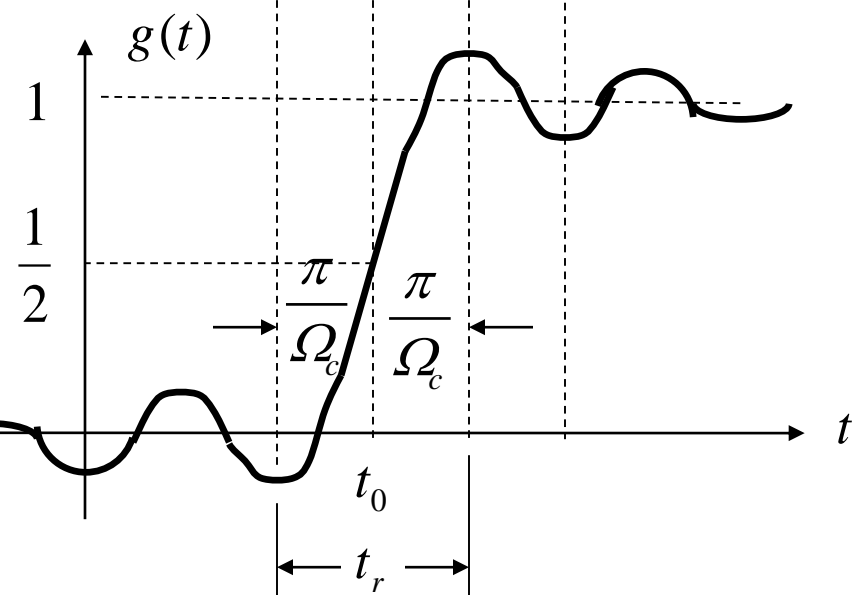
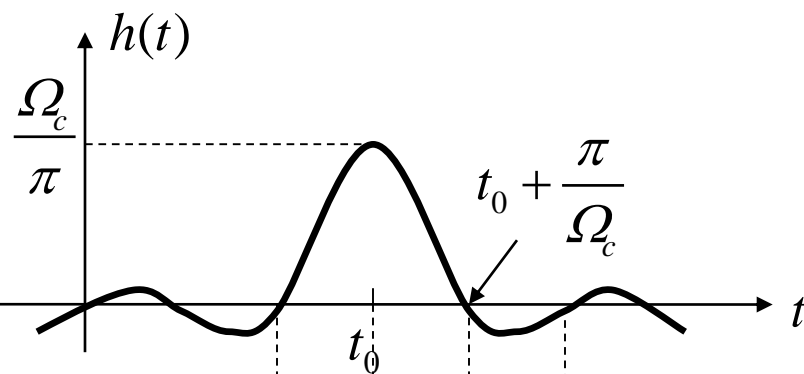
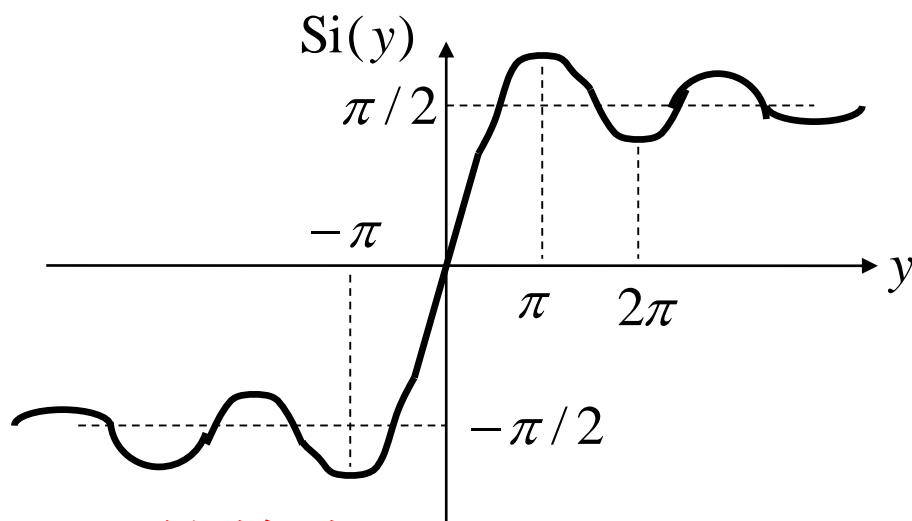
----- 正弦积分

$$g(t) = \frac{1}{2} + \frac{1}{\pi} \text{Si}[\Omega_c(t-t_0)]$$



5.2.2 理想滤波器

$$g(t) = \frac{1}{2} + \frac{1}{\pi} \text{Si}[\Omega_c(t - t_0)]$$



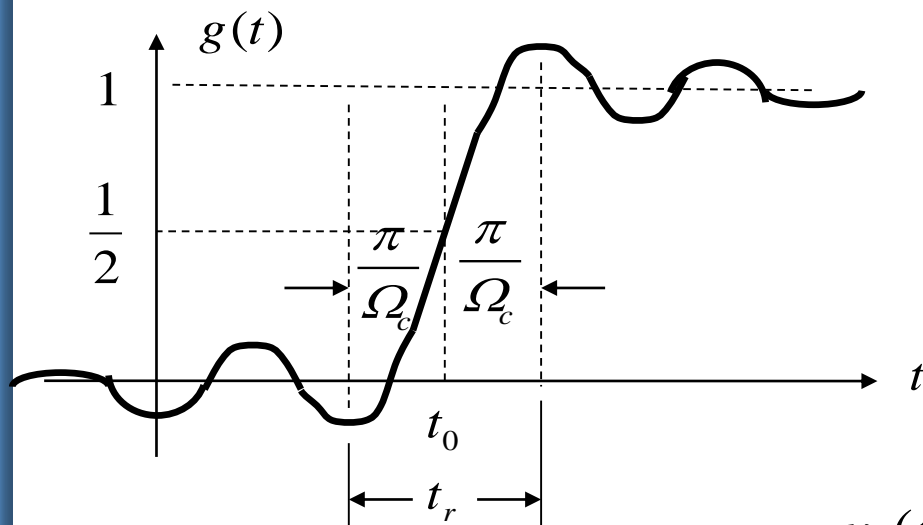
$g(t)$ 的特点:

1) 响应波形的前沿是倾斜的, 响应信号的建立需要一段时间。

$$t_r = \frac{2\pi}{\Omega_c} = \frac{1}{f_c} = \frac{1}{B}$$

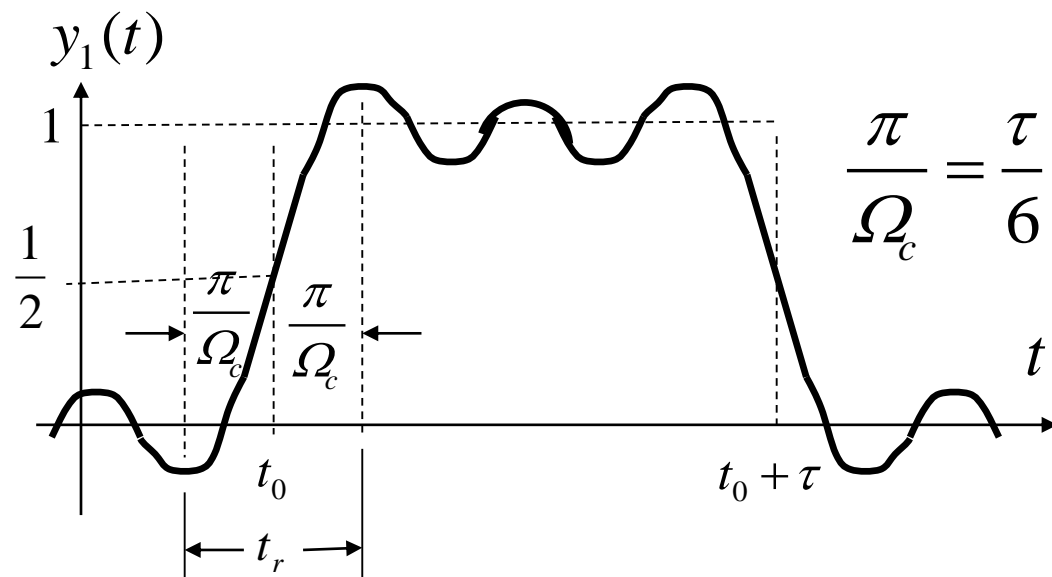
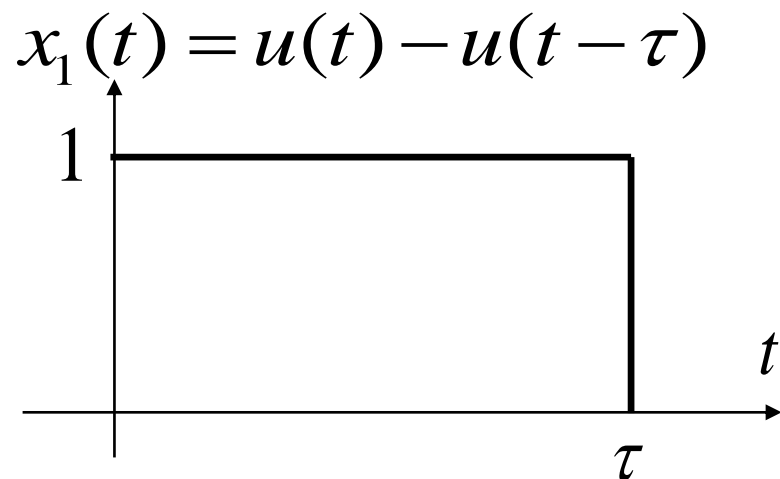
-----阶跃响应的建立(上升)时间

5.2.2 理想滤波器



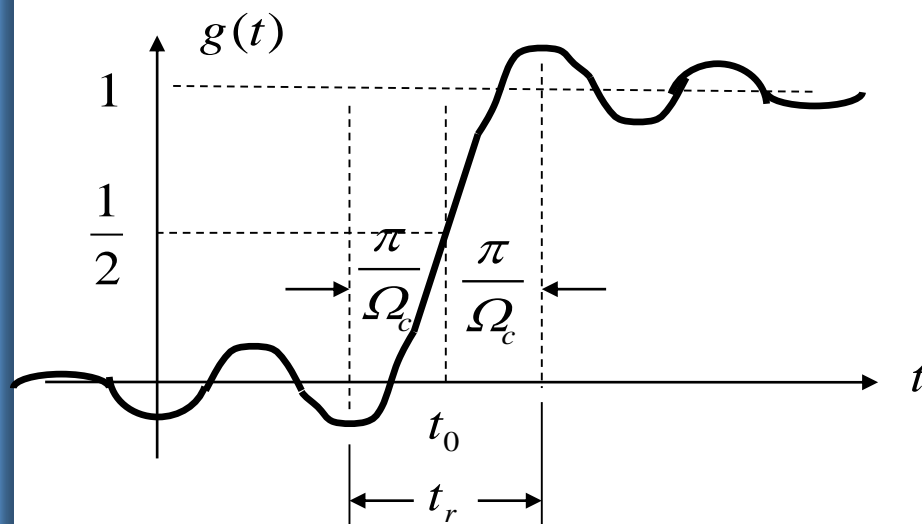
$$g(t) = \frac{1}{2} + \frac{1}{\pi} \text{Si}[\Omega_c(t - t_0)]$$

理想低通滤波器阶跃响应的建立（上升）时间与滤波器的截止频率成反比。



$$y_1(t) = \{\text{Si}[\Omega_c(t - t_0)] - \text{Si}[\Omega_c(t - t_0 - \tau)]\} / \pi$$

5.2.2 理想滤波器



2) 响应与激励相比有波纹。

最大波峰的高度约为跳变值的**8.95%**左右（波峰值为**1.0895**），它与 Ω_c 无关。

----- 吉伯斯现象

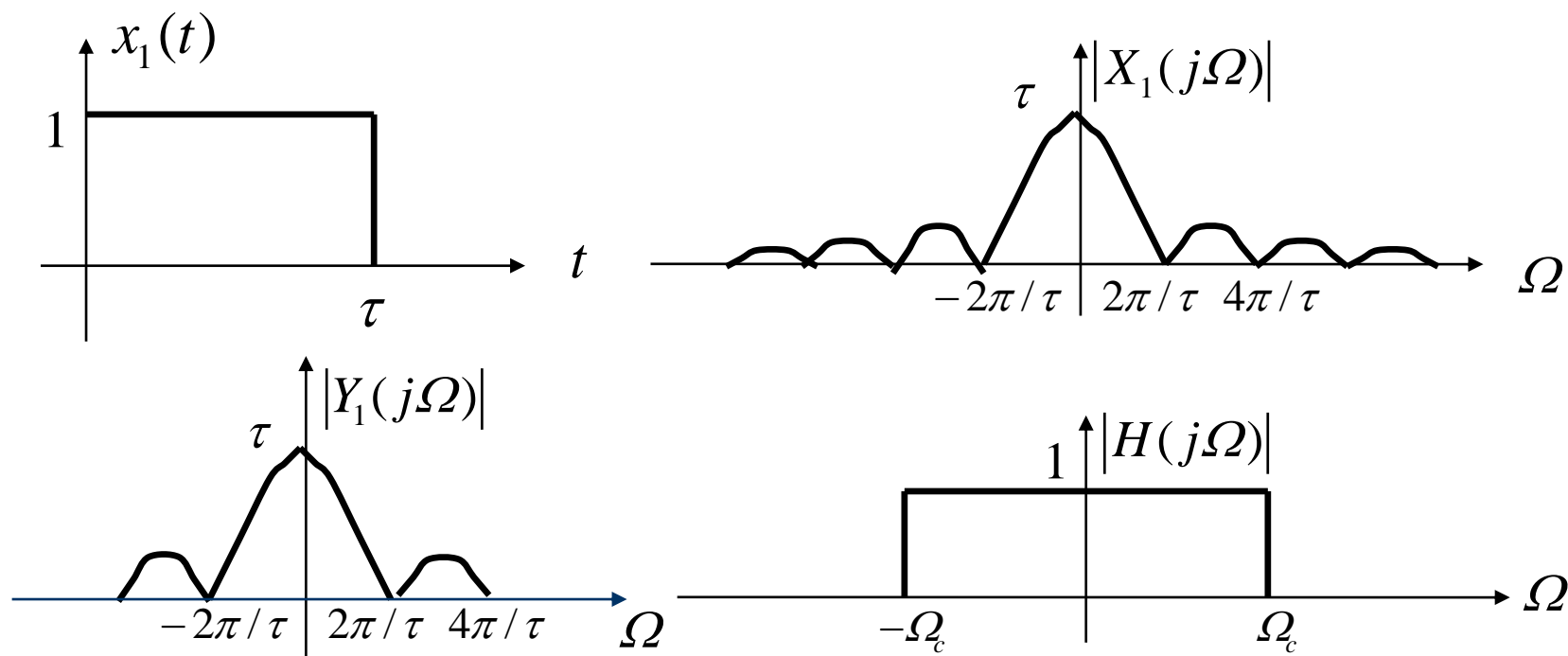
阶跃响应 $g(t)$ 的第一个极大值发生在 $t = t_0 + \pi / \Omega_c$ 处，将它代入到式(5.2-8)中，得到阶跃响应的极大值

$$g_{\max} = \frac{1}{2} + \frac{1}{\pi} \text{Si}[\Omega_c(t - t_0)] \Big|_{t=t_0+\pi/\Omega_c} = \frac{1}{2} + \frac{1}{\pi} \text{Si}(\pi) \approx 1.0895$$

5.2.2 理想滤波器

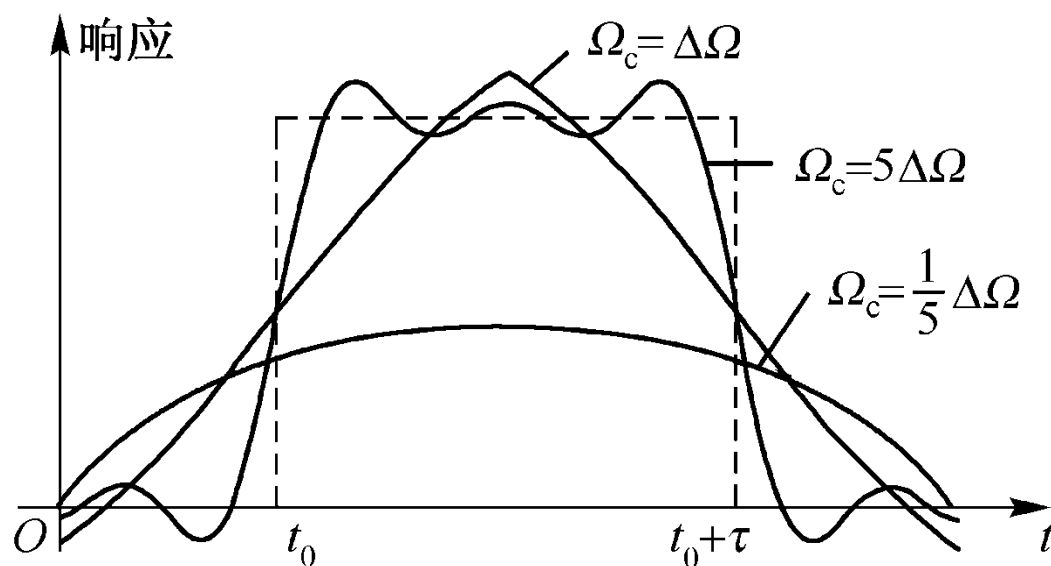
在下述情况下，会产生吉伯斯现象：

- (1) 激励有跳变；
- (2) 系统的带宽为有限值。



5.2.2 理想滤波器

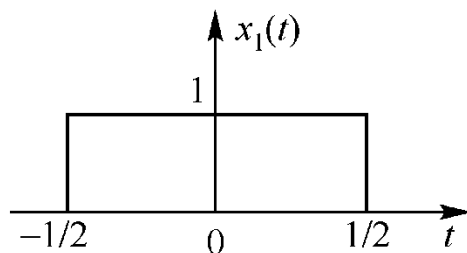
3) 矩形脉冲响应除了比矩形脉冲输入延迟一段时间 t_0 外，矩形脉冲响应的波形也不再是矩形脉冲，即产生了失真。失真的程度既与理想低通滤波器的频带宽度有关，也与矩形脉冲的频带宽度或脉冲宽度有关。



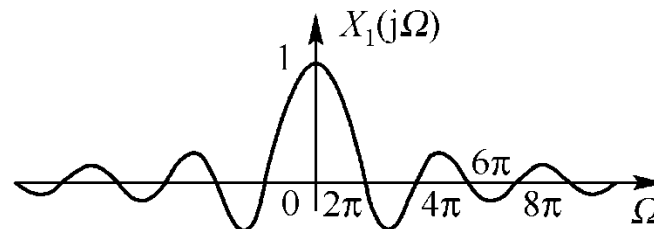
$\Delta\Omega$ 为矩形脉冲的频带宽度

5.2.2 理想滤波器

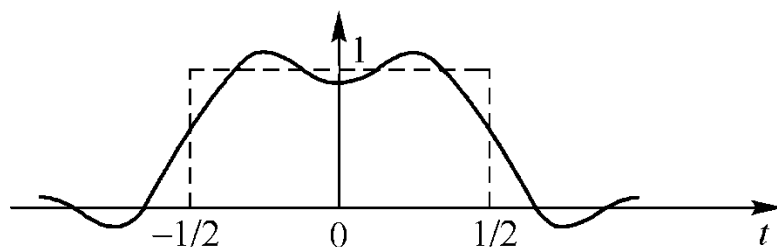
4) 不同 Ω_c 的理想低通滤波器对矩形脉冲的响应



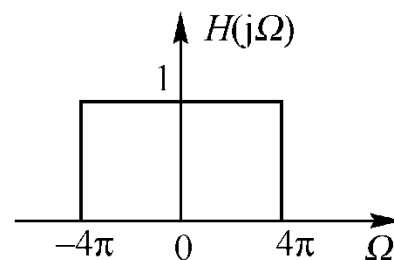
(a)



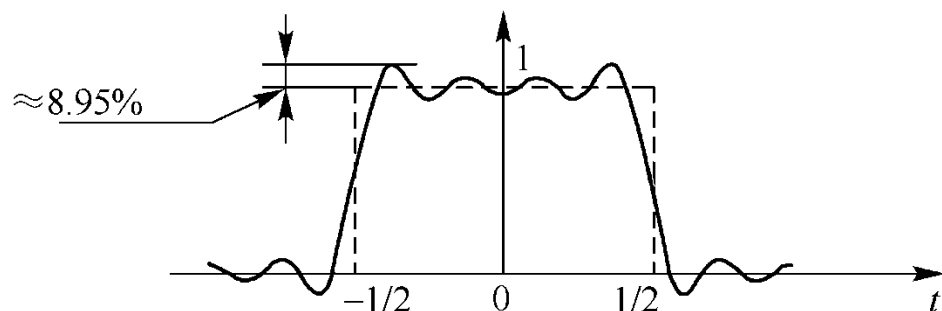
(b)



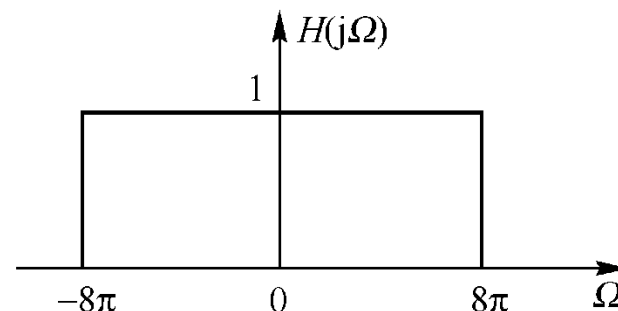
(c) $\Omega_c = 4\pi$ 之响应



(d) 理想低通 ($\Omega_c = 4\pi$)



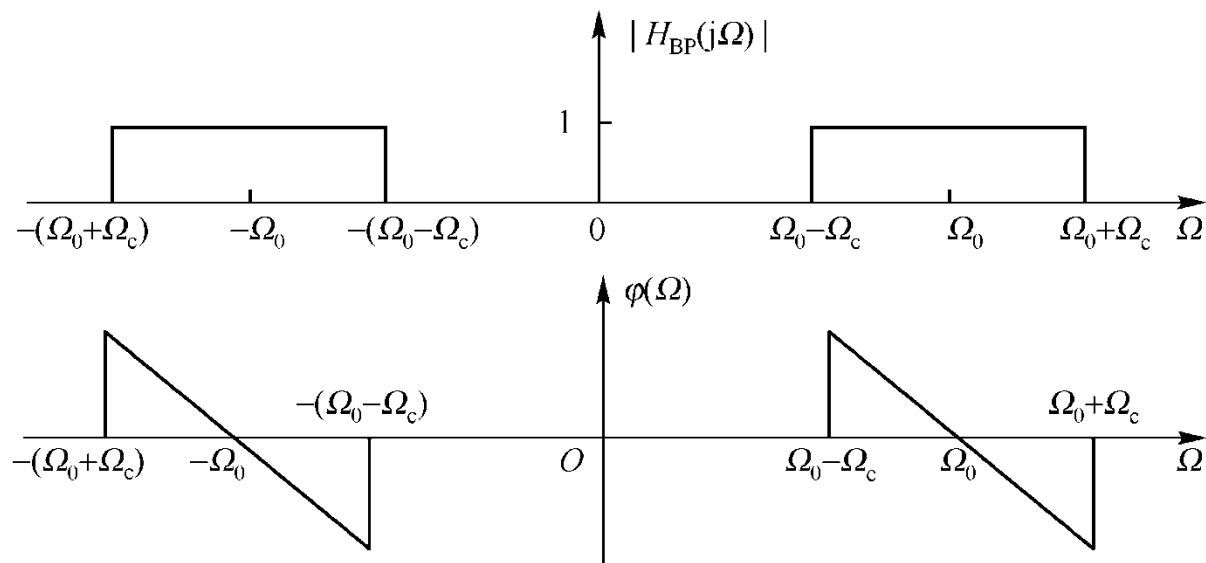
(e) $\Omega_c = 8\pi$ 之响应



(f) 理想低通 ($\Omega_c = 8\pi$)

5.2.2 理想滤波器

2. 理想带通滤波器



$$H_{LP}(j\Omega) = \begin{cases} e^{-j\Omega t_0} & |\Omega| < \Omega_c \\ 0 & |\Omega| > \Omega_c \end{cases}$$

$$H_{BP}(j\Omega) = H_{LP}(j\Omega) * [\delta(\Omega + \Omega_0) + \delta(\Omega - \Omega_0)]$$

5.2.2 理想滤波器

$$h(t) = \mathcal{F}^{-1}[H_{\text{BP}}(\mathrm{j}\Omega)] = 2\pi \mathcal{F}^{-1}[H_{\text{LP}}(\mathrm{j}\Omega)] \mathcal{F}^{-1}[\delta(\Omega + \Omega_0) + \delta(\Omega - \Omega_0)]$$

$$\mathcal{F}^{-1}[H_{\text{LP}}(\mathrm{j}\Omega)] = \frac{\Omega_c}{\pi} \text{Sa}[\Omega_c(t - t_0)]$$

$$\mathcal{F}^{-1}[\delta(\Omega + \Omega_0) + \delta(\Omega - \Omega_0)] = \frac{1}{2\pi} [e^{\mathrm{j}\Omega_0 t} + e^{-\mathrm{j}\Omega_0 t}] = \frac{1}{\pi} \cos \Omega_0 t$$

$$h(t) = 2\pi \cdot \frac{\Omega_c}{\pi} \text{Sa}[\Omega_c(t - t_0)] \cdot \frac{1}{\pi} \cos \Omega_0 t = \frac{2\Omega_c}{\pi} \text{Sa}[\Omega_c(t - t_0)] \cos \Omega_0 t$$

这是以等效低通滤波器的冲激响应为包络的正弦调幅信号。

5.3 信号的采样



Nyquist (1889-1976)
物理学家（美国）

成就：

《电报传输理论的一定论题》，
《影响电报速度传输速度的因素》

奈奎斯特，美国物理学家。

1889年出生在瑞典韦姆兰省。

1912年考入美国北达科他州立大学。

1914年获得理学学士学位。

1915年获得理学硕士学位。

1917年获得耶鲁大学哲学博士学位。

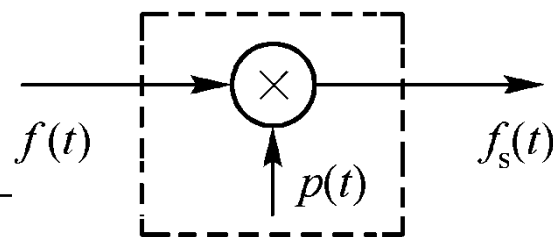
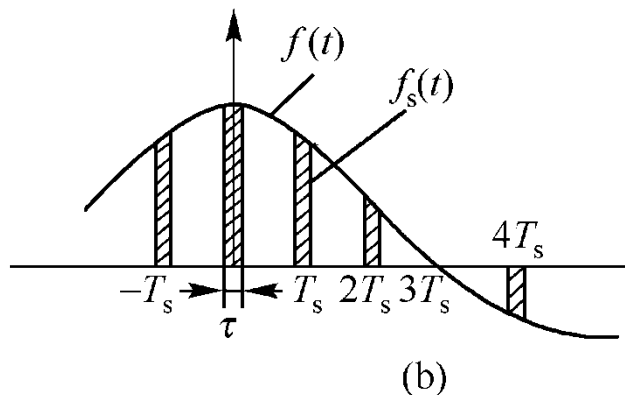
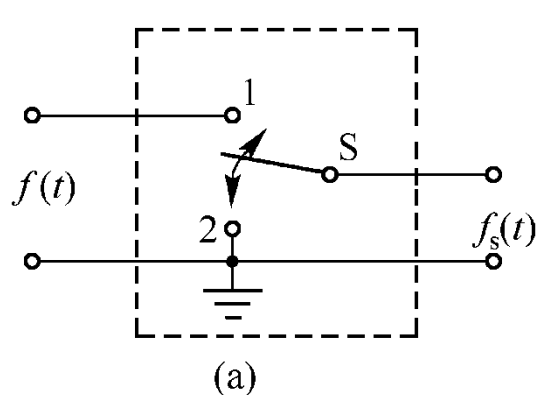
1917-1934年间在AT&T公司工作。

1934-1954年间在贝尔实验室工作。

5.3 信号的采样

5.3.1 信号采样的概念

所谓“采样”就是利用采样脉冲序列 $p(t)$ 从连续信号 $f(t)$ 中“采样”一系列的离散样值，这种离散信号通常称为“采样信号”。



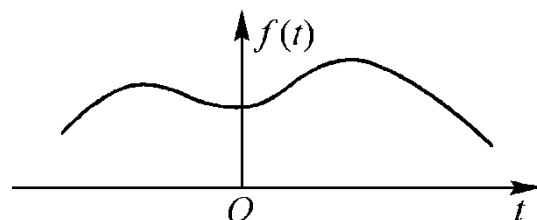
采样后信号 $f_s(t)$ ，可以看成是原信号 $f(t)$ 和一采样脉冲序列 $p(t)$ 的乘积。

$$f_s(t) = f(t)p(t) \quad (5.3-1)$$

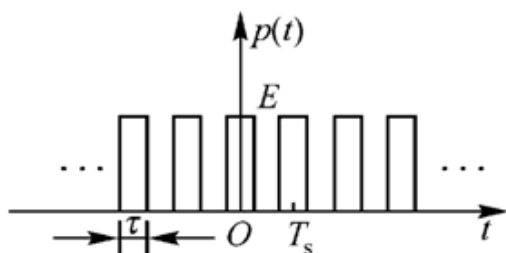
5.3.1 信号采样的概念

当采样脉冲是周期矩形序列，将这种采样称为**矩形脉冲采样**或称为**自然采样**。当采样脉冲是单位冲激序列，这种采样称为**冲激采样**或**理想采样**。

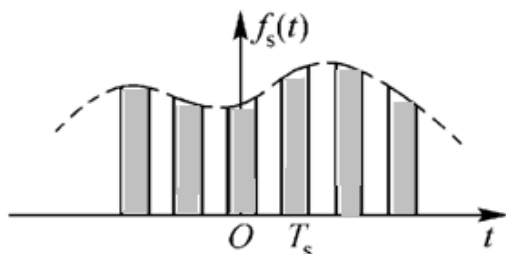
自然
采样



(a)

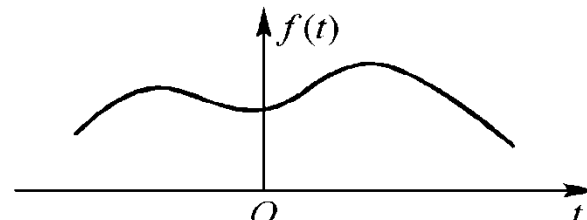


(b)

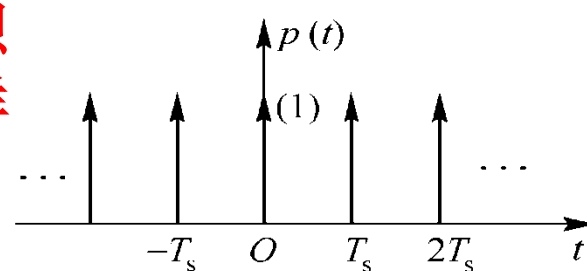


(c)

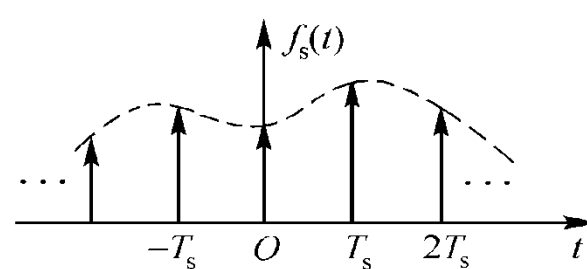
理想
采样



(a)



(b)



(c)

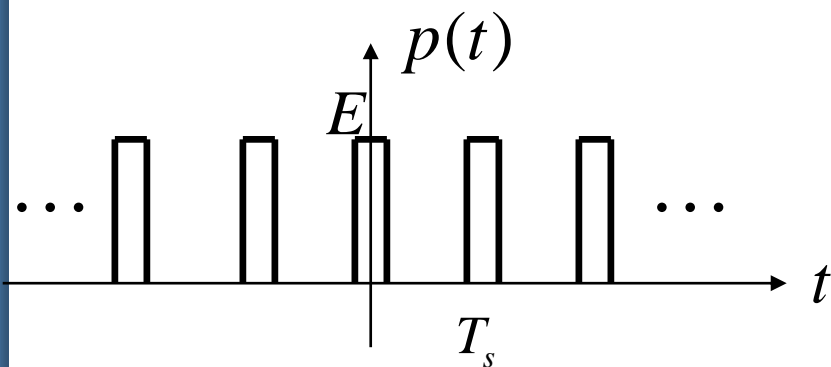
5.3.1 信号采样的概念

令连续信号 $f(t)$ 的傅里叶变换为 $F(j\Omega)$

采样脉冲 $p(t)$ 的傅里叶变换为 $P(j\Omega)$

采样后信号 $f_s(t)$ 的傅里叶变换为 $F_s(j\Omega)$

$$\Omega_s (= 2\pi f_s = \frac{2\pi}{T_s})$$



$$f_s(t) = f(t) \cdot p(t)$$

$$P(j\Omega) = 2\pi \sum_{n=-\infty}^{\infty} P_n \delta(\Omega - n\Omega_s)$$

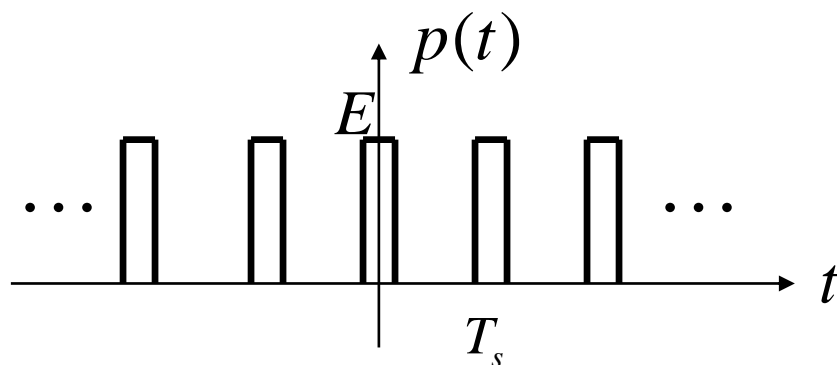
$$\text{其中: } P_n = \frac{1}{T_s} \int_{-\frac{T_s}{2}}^{\frac{T_s}{2}} p(t) e^{-jn\Omega_s t} dt$$

$$F_s(j\Omega) = \frac{1}{2\pi} F(j\Omega) * P(j\Omega) = \frac{1}{2\pi} F(j\Omega) * 2\pi \sum_{n=-\infty}^{\infty} P_n \delta(\Omega - n\Omega_s)$$

$$\text{所以, } F_s(j\Omega) = \sum_{n=-\infty}^{\infty} P_n \cdot F[j(\Omega - n\Omega_s)] \quad (5.3-4)$$

5.3.1 信号采样的概念

(1) 矩形脉冲采样



$$P_n = \frac{1}{T_s} \int_{-\frac{T_s}{2}}^{\frac{T_s}{2}} p(t) e^{-jn\Omega_s t} dt$$

$$= \frac{1}{T_s} \int_{-\frac{\tau}{2}}^{\frac{\tau}{2}} E e^{-jn\Omega_s t} dt$$

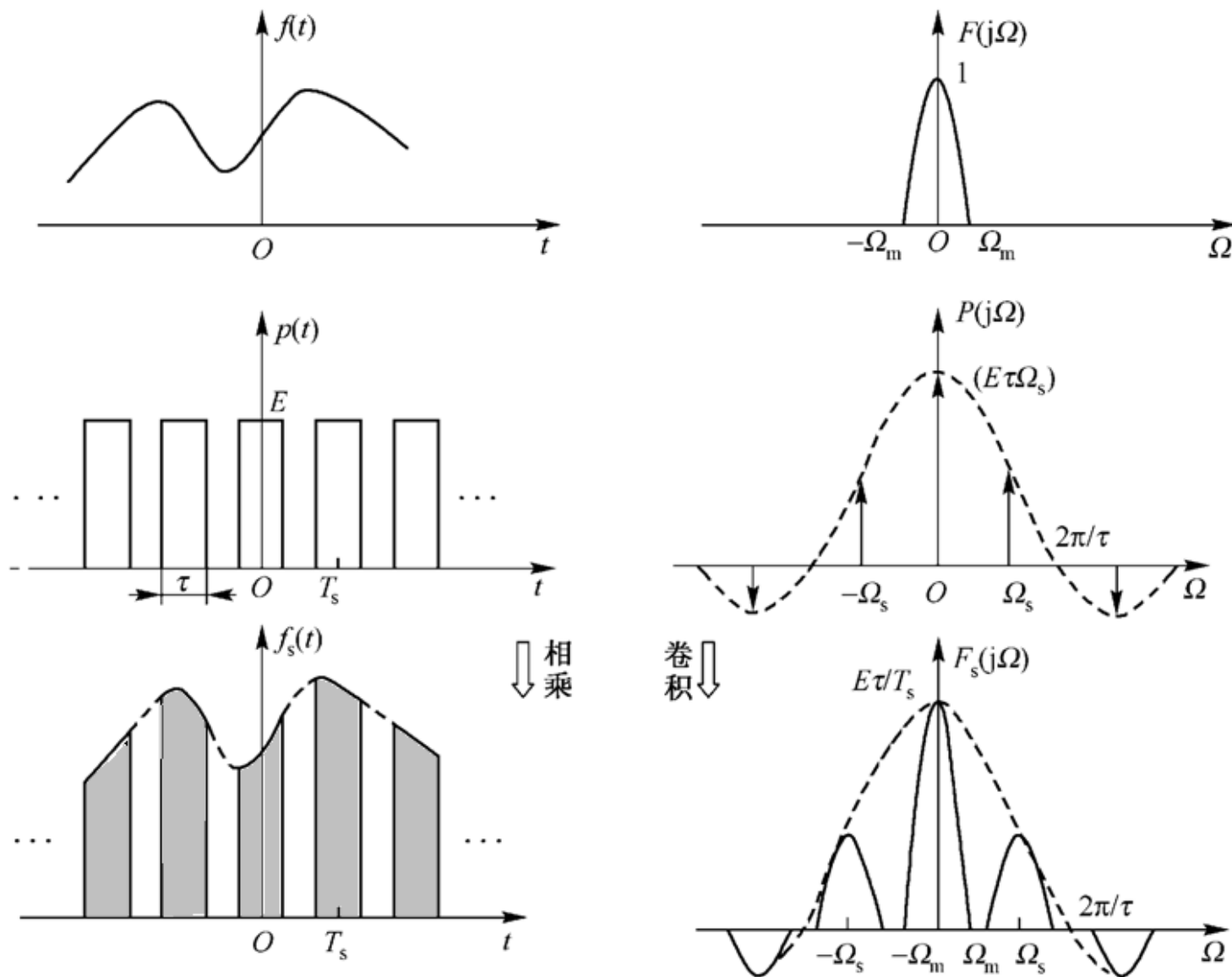
$$= \frac{E\tau}{T_s} \text{Sa}\left(\frac{n\Omega_s \tau}{2}\right)$$

$$F_s(j\Omega) = \sum_{n=-\infty}^{\infty} P_n \cdot F[j(\Omega - n\Omega_s)]$$

$$F_s(j\Omega) = \frac{E\tau}{T_s} \sum_{n=-\infty}^{\infty} \text{Sa}\left(\frac{n\Omega_s \tau}{2}\right) F[j(\Omega - n\Omega_s)] \quad (5.3-6)$$

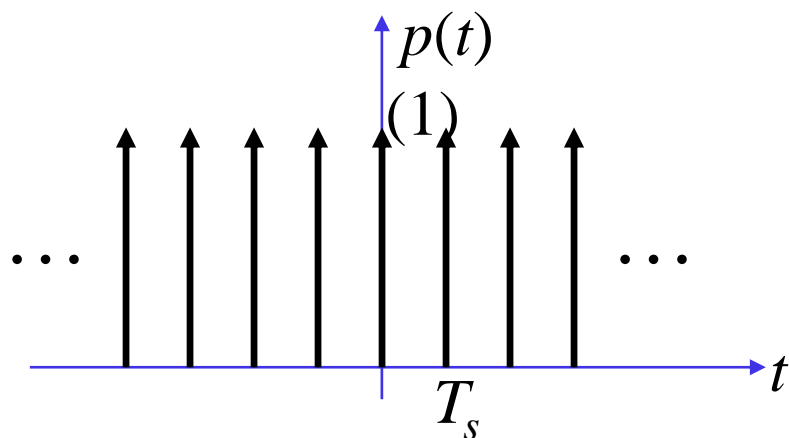
$F_s(j\Omega)$ 是将 $F(j\Omega)$ 在以 Ω_s 为周期的重复过程中幅度以 $\text{Sa}(\frac{n\Omega_s \tau}{2})$ 的规律变化。

5.3.1 信号采样的概念



5.3.1 信号采样的概念

(2) 冲激采样



$$p(t) = \delta_T(t) = \sum_{n=-\infty}^{\infty} \delta(t - nT_s)$$

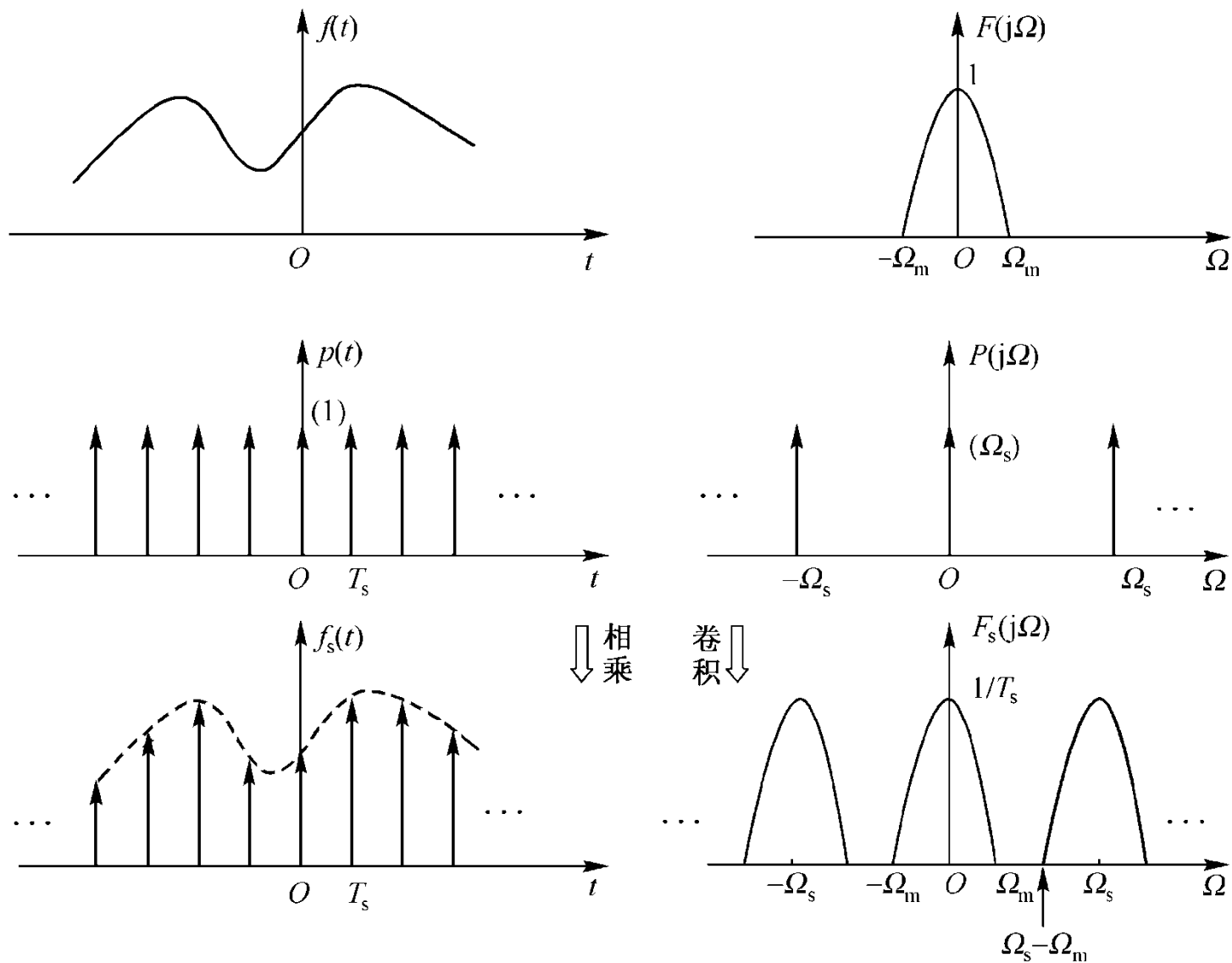
$$P_n = \frac{1}{T_s} \int_{-\frac{T_s}{2}}^{\frac{T_s}{2}} \delta(t) e^{-jn\Omega_s t} dt = \frac{1}{T_s}$$

$$F_s(j\Omega) = \sum_{n=-\infty}^{\infty} P_n \cdot F[j(\Omega - n\Omega_s)]$$

$$F_s(j\Omega) = \frac{1}{T_s} \sum_{n=-\infty}^{\infty} F[j(\Omega - n\Omega_s)] \quad (5.3-8)$$

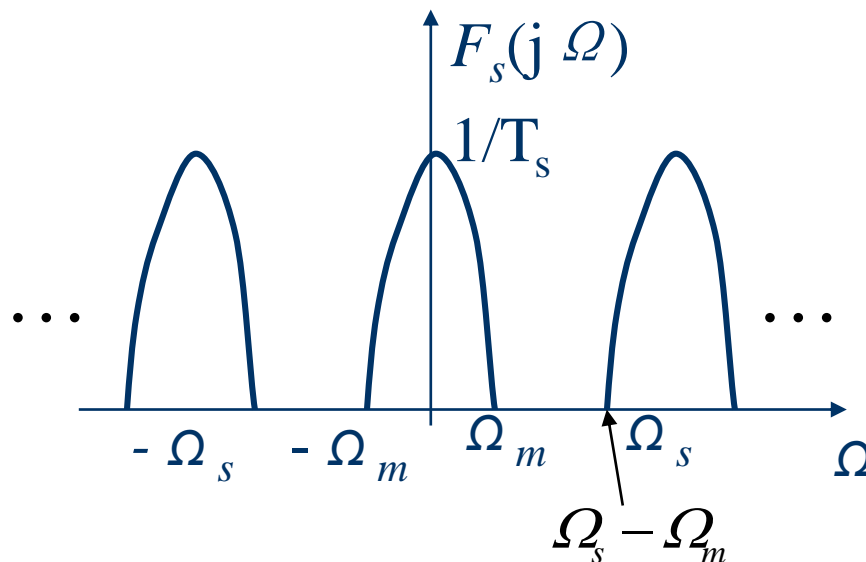
由于冲激序列的傅里叶系数 P_n 为常数，所以 $F(j\Omega)$ 是以 Ω_s 为周期等幅地重复。

5.3.2 采样信号的傅里叶变换



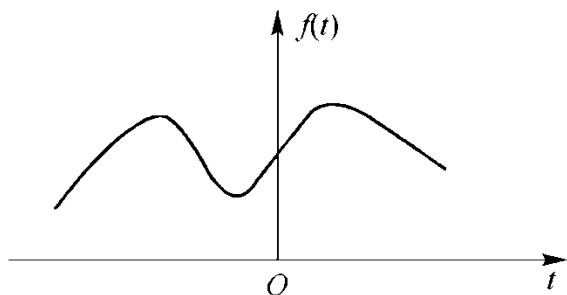
5.3.3 时域采样定理

用采样脉冲对连续信号进行采样，采样周期取多大合适呢？并且如何从采样信号中恢复原连续信号？

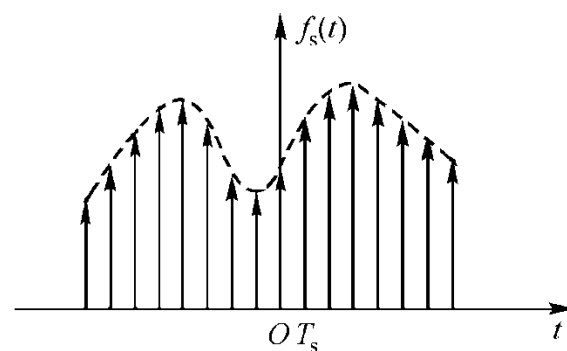
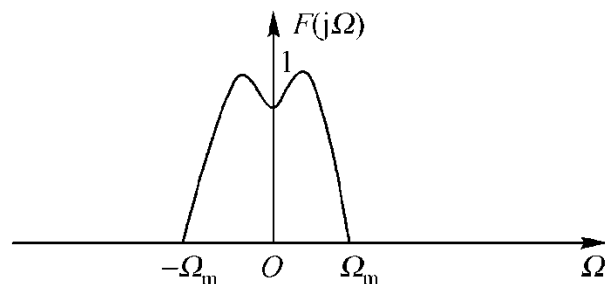


从上图可知：只有满足 $\Omega_s > 2\Omega_m$ ， $F_s(j\Omega)$ 才不会产生频谱混叠，即 $f_s(t)$ 保留了原连续时间信号的全部信息。这时只要将 $f_s(t)$ 施加于“**理想低通滤波器**”，就可恢复原信号 $f(t)$ 。

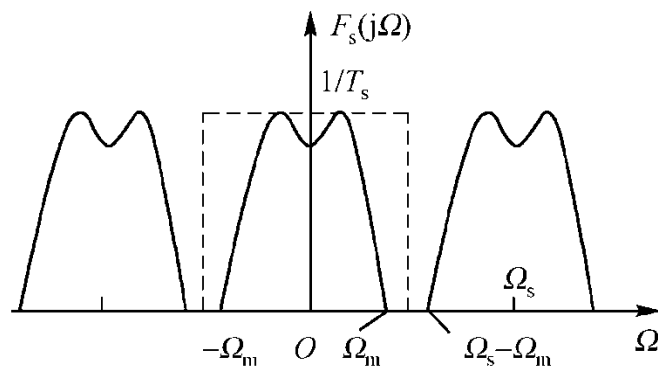
5.3.3 时域采样定理



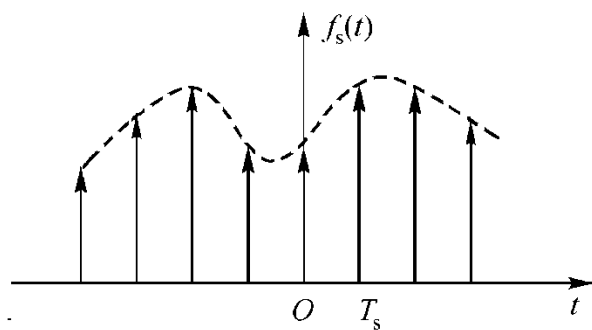
(a)



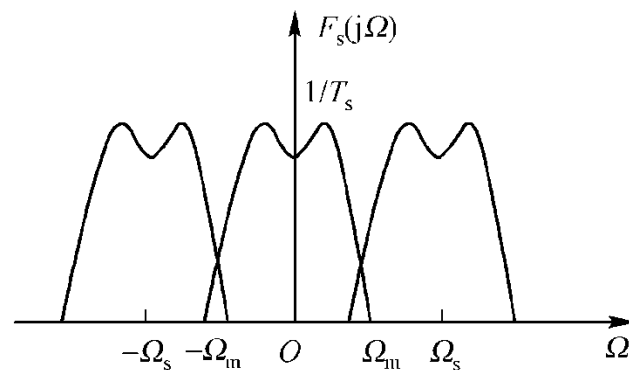
(b)



当
 $\Omega_s < 2\Omega_m$
 时,
 $F_s(j\Omega)$
 将产生
 混叠



(c)



5.3.3 时域采样定理

时域采样定理：一个频谱受限的信号 $f(t)$ ，如果频谱只占据 $-\Omega_m \sim \Omega_m$ 的范围，则信号 $f(t)$ 可以用等间隔的采样值来唯一地表示。而采样间隔必须小于 $1/(2f_m)$ (其中 $\Omega_m = 2\pi f_m$)，或者说，最低采样频率为 $2f_m$ 。

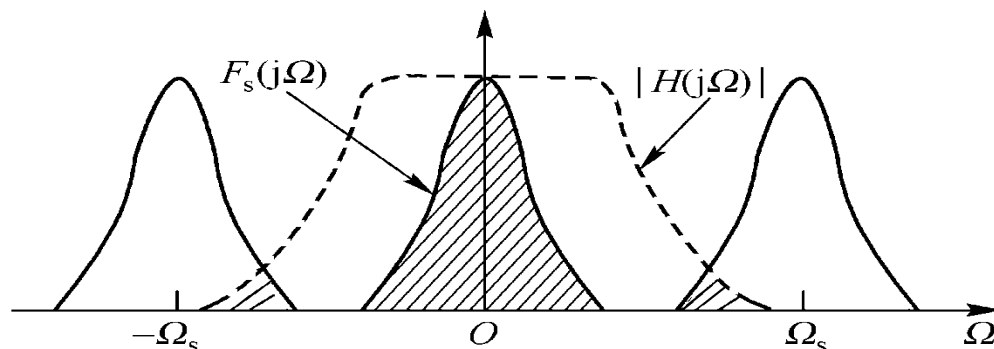
通常把最低允许的采样率称为**奈奎斯特采样率**，把最大允许的采样间隔称为**奈奎斯特间隔**。即

$$\Omega_{s \min} = 2\Omega_m \quad \text{或:} \quad f_{s \min} = 2f_m$$

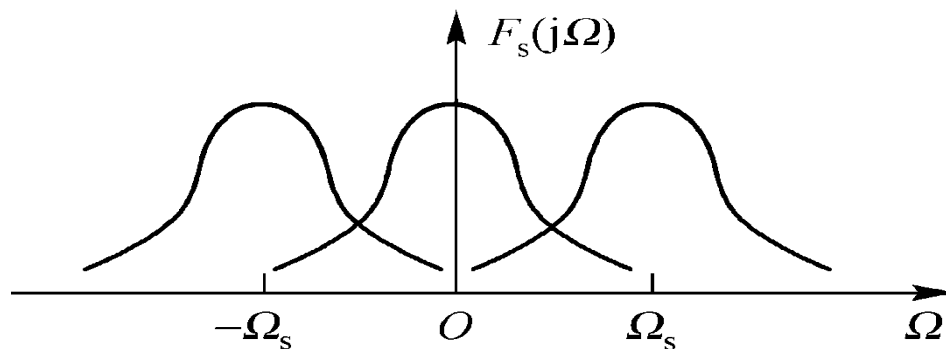
$$T_{s \max} = \frac{1}{f_{s \min}} = \frac{1}{2f_m}$$

5.3.3 时域采样定理

实际上，理想低通滤波器是不可能实现的。另一方面，实际被传输的信号，一般不是频带受限信号。工程中，采样频率一般取最高频率的**3~5倍**。



采样信号通过
实际低通滤波器



非频谱受限信号
采样后频谱的混
叠现象

连续信号采样率的选择，影响雷达系统对目标跟踪的性能，采样率高数据量大，速度下降；采样率低易混叠，精度下降，选择合适的采样率，要求设计者**尊重科学规律，发扬精益求精地现代工匠精神。**

5.3.4 从采样信号恢复连续信号

为了从频谱 $F_s(j\Omega)$ 中无失真地选出 $F(j\Omega)$ ，可以将采样信号通过一理想低通滤波器，其频率特性为

$$H(j\Omega) = \begin{cases} T_s, & |\Omega| < \Omega_c \\ 0, & |\Omega| > \Omega_c \end{cases} \quad \text{其中} \quad \Omega_m < \Omega_c < \Omega_s - \Omega_m$$

从频域角度讲，滤波器输出端的频谱 $F(j\Omega)$ 就是 $H(j\Omega)$ 与 $F_s(j\Omega)$ 相乘。

$$F(j\Omega) = H(j\Omega)F_s(j\Omega)$$

滤波器的输出端可以得到频谱为 $F(j\Omega)$ 的连续信号 $f(t)$

5.3.4 从采样信号恢复连续信号

下面再从时域角度来看如何由采样信号 $f_s(t)$ 恢复 $f(t)$

$$f(t) = h(t) * f_s(t)$$

$$h(t) = \mathcal{F}^{-1}[H(j\Omega)]$$

$$h(t) = \frac{T_s \Omega_c}{\pi} \text{Sa}(\Omega_c t)$$

$$f_s(t) = \sum_{n=-\infty}^{\infty} f(nT_s) \delta(t - nT_s)$$

5.3.4 从采样信号恢复连续信号

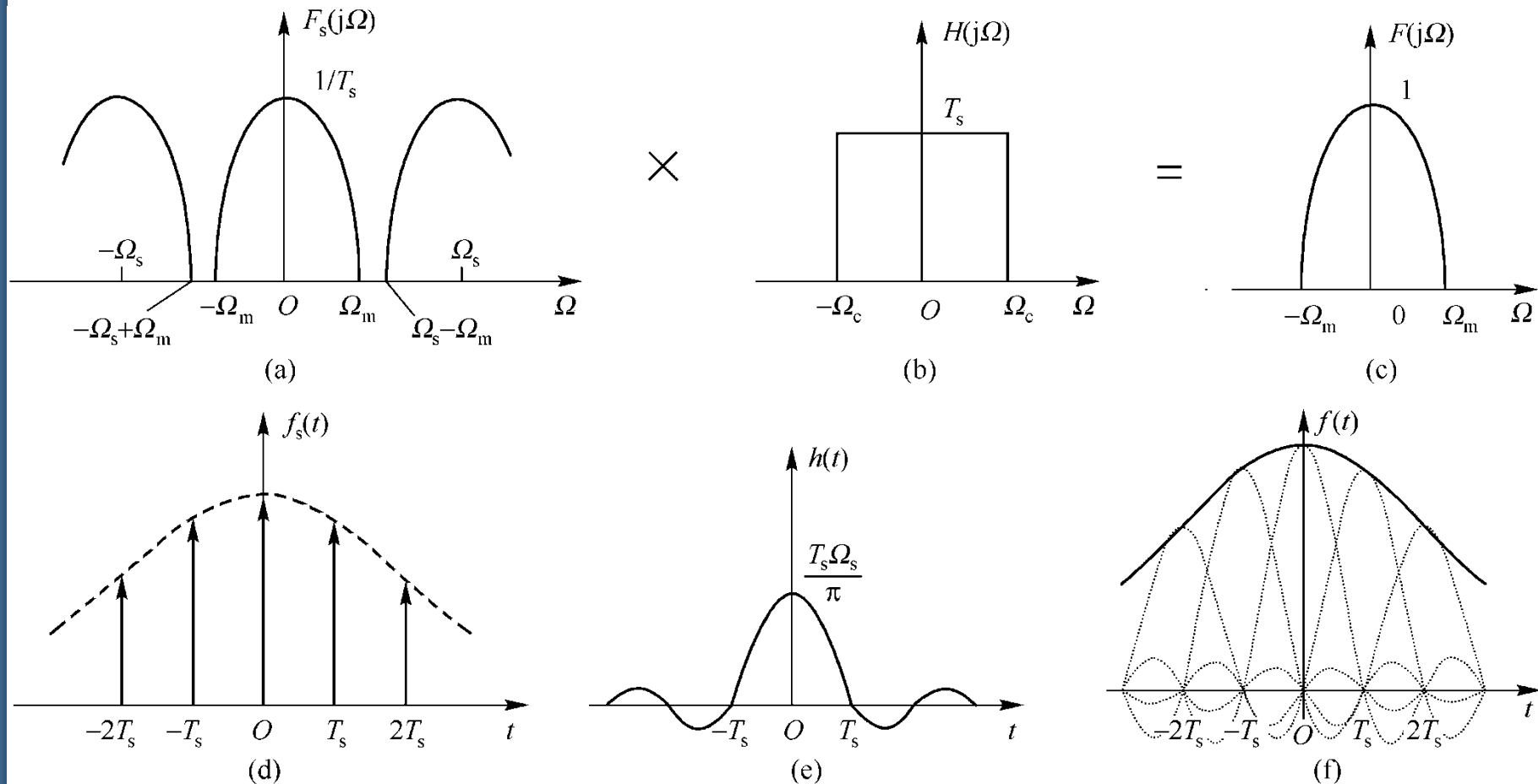
$$\begin{aligned} f(t) &= h(t) * f_s(t) = \frac{T_s \Omega_c}{\pi} \text{Sa}(\Omega_c t) * \left[\sum_{n=-\infty}^{\infty} f(nT_s) \delta(t - nT_s) \right] \\ &= \sum_{n=-\infty}^{\infty} \frac{T_s \Omega_c}{\pi} f(nT_s) \text{Sa}[\Omega_c(t - nT_s)] \end{aligned}$$

若取 $\Omega_s = 2\Omega_m$, $\Omega_c = \Omega_m$

$$f(t) = \sum_{n=-\infty}^{\infty} f(nT_s) \text{Sa}[\Omega_m(t - nT_s)] = \sum_{n=-\infty}^{\infty} f(nT_s) \text{Sa}(\Omega_m t - n\pi)$$

上式说明，连续信号 $f(t)$ 可以展开成正交抽样函数（**Sa**函数）的无穷级数，级数的系数等于采样值 $f(nT_s)$

5.3.4 从采样信号恢复连续信号

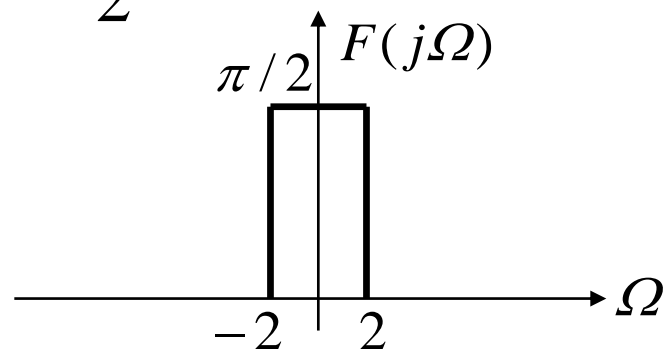
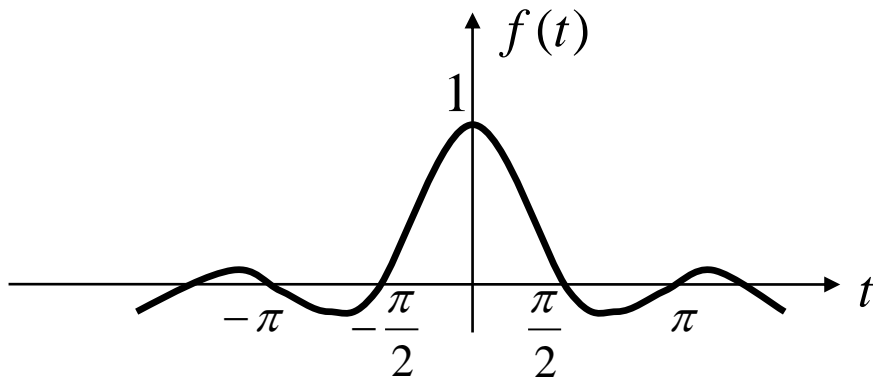


5.3.4 从采样信号恢复连续信号

例5.3-1: 已知信号 $f(t) = \text{Sa}(2t)$, 用 $\delta_T(t) = \sum_{n=-\infty}^{\infty} \delta(t - nT_s)$ 对其进行采样,

- (1) 确定奈奎斯特采样率;
- (2) 若取 $\Omega_s = 6\Omega_m$, 求采样信号 $f_s(t) = f(t)\delta_T(t)$, 并画出波形图;
- (3) 求 $F_s(j\Omega) = \mathcal{F}[f_s(t)]$, 并画出频谱图;
- (4) 确定低通滤波器的截止频率 Ω_c .

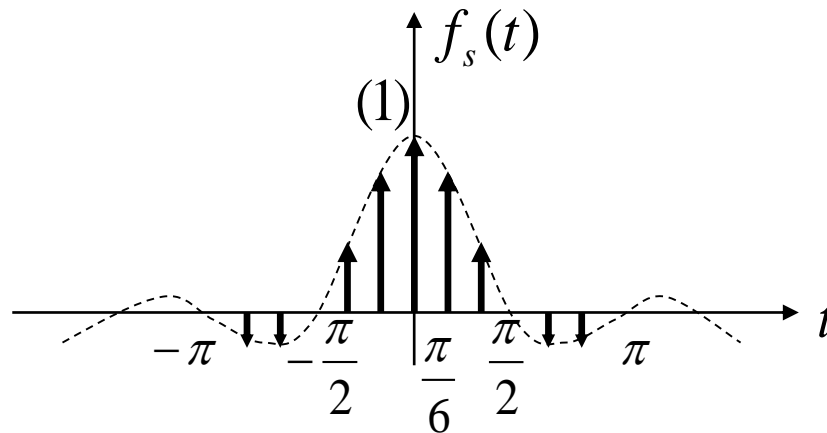
解: (1) $\because f(t) = \text{Sa}(2t) \therefore F(j\Omega) = \frac{\pi}{2} [u(\Omega + 2) - u(\Omega - 2)]$



奈奎斯特采样率为: $\Omega_{s \min} = 2\Omega_m = 2 \times 2 = 4 \text{ rad/s}$

5.3.4 从采样信号恢复连续信号

$$(2) \because \Omega_s = 6\Omega_m = 12 \text{ rad/s} \therefore T_s = \frac{2\pi}{\Omega_s} = \frac{2\pi}{12} = \frac{\pi}{6} \text{ s}$$

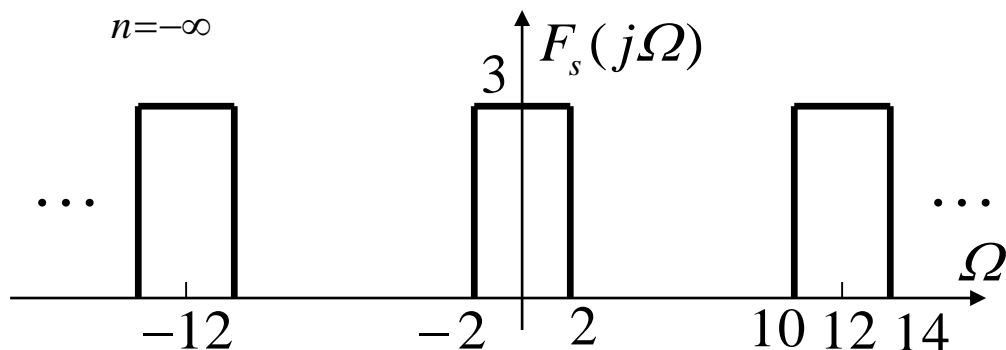


$$f_s(t) = f(t)\delta_T(t) = \sum_{n=-\infty}^{\infty} f(nT_s)\delta(t - nT_s)$$

$$= \sum_{n=-\infty}^{\infty} \text{Sa}(2t)\big|_{t=nT_s} \delta(t - nT_s) = \sum_{n=-\infty}^{\infty} \text{Sa}\left(\frac{n\pi}{3}\right) \delta\left(t - \frac{n\pi}{6}\right)$$

5.3.4 从采样信号恢复连续信号

$$\begin{aligned} (3) \quad F_s(j\Omega) &= \frac{1}{T_s} \sum_{n=-\infty}^{\infty} F[j(\Omega - n\Omega_s)] = \frac{6}{\pi} \sum_{n=-\infty}^{\infty} F[j(\Omega - 12n)] \\ &= 3 \sum_{n=-\infty}^{\infty} [u(\Omega + 2 - 12n) - u(\Omega - 2 - 12n)] \end{aligned}$$

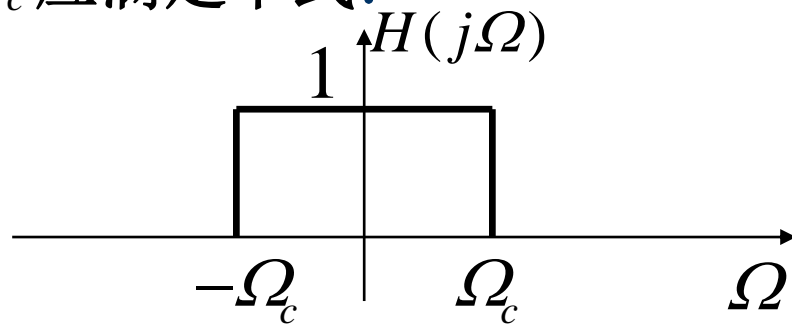


(4) 低通滤波器的截止频率 Ω_c 应满足下式:

$$\Omega_m \leq \Omega_c \leq \Omega_s - \Omega_m$$

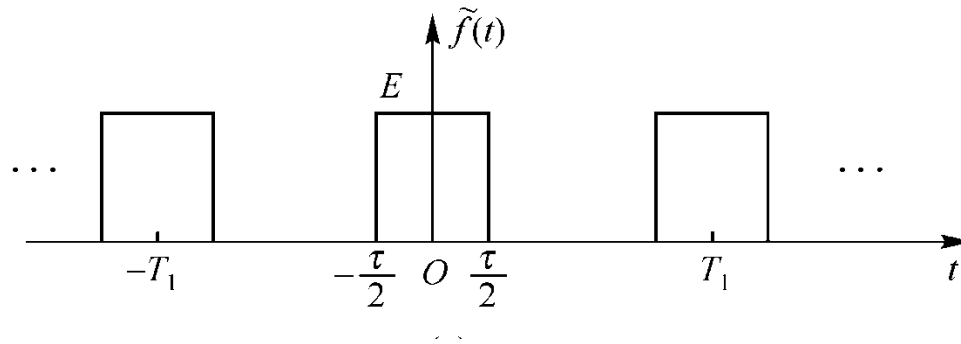
即

$$2 \leq \Omega_c \leq 10$$



5.3.4 从采样信号恢复连续信号

例5.3-2: 大致画出下图所示周期矩形信号 $\tilde{f}(t)$ 冲激采样后信号的频谱。若 $\tilde{f}(t)$ 被间隔为 T_s 的冲激序列所取样, 令采样后的信号为 $f_s(t)$, 求其傅里叶变换。

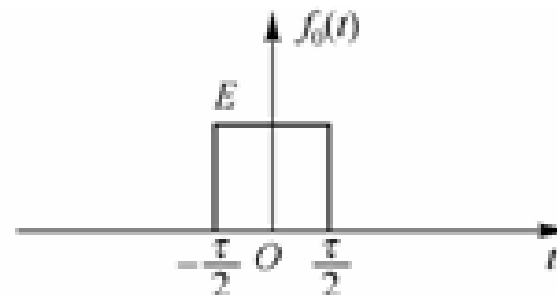


解: 首先求出对应于 $\tilde{f}(t)$ 的单脉冲信号 $f_0(t)$ 的傅氏变换

$$F_0(j\Omega) = E\tau \text{Sa}\left(\frac{\Omega\tau}{2}\right)$$

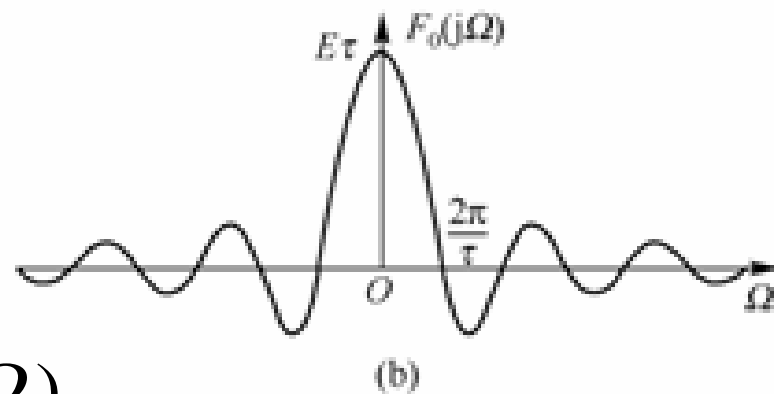
5.3.4 从采样信号恢复连续信号

$$F_0(j\Omega) = E\tau \text{Sa}\left(\frac{\Omega\tau}{2}\right)$$



若 $f_0(t)$ 以 T_1 为周期重复, 构成 $\tilde{f}(t)$

$$\tilde{f}(t) = \sum_{n=-\infty}^{\infty} f_0(t - nT_1)$$



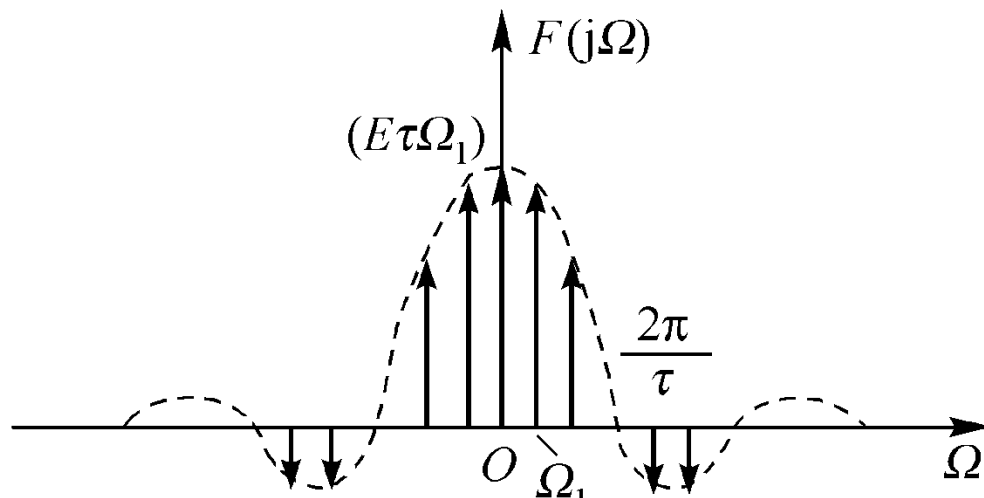
$$F(j\Omega) = 2\pi \sum_{n=-\infty}^{\infty} F_n \delta(\Omega - n\Omega_1)$$

其中:

$$F_n = \left. \frac{F_0(j\Omega)}{T_1} \right|_{\Omega=n\Omega_1} = \frac{E\tau}{T_1} \text{Sa}\left(\frac{n\Omega_1\tau}{2}\right)$$

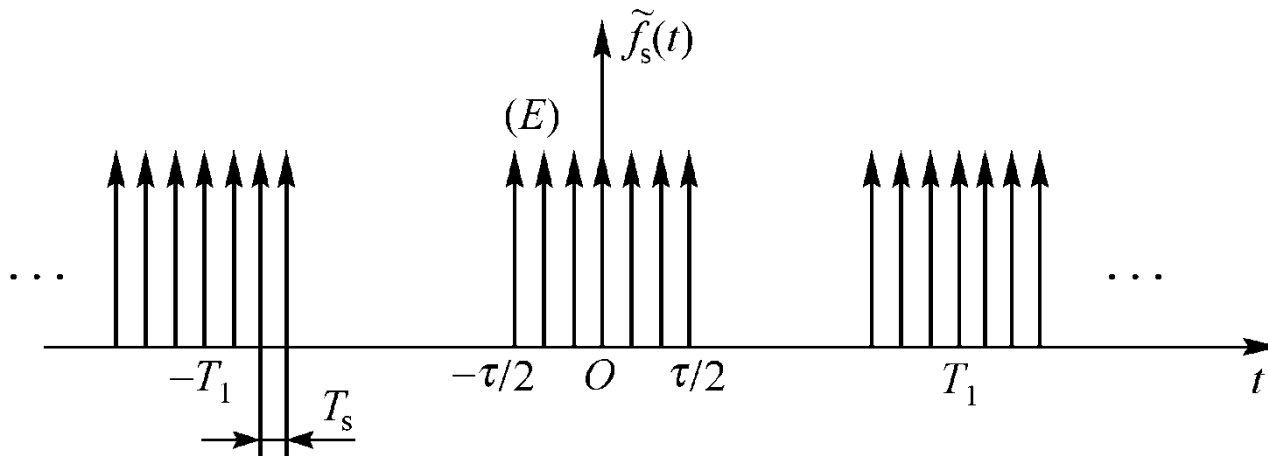
5.3.4 从采样信号恢复连续信号

所以
$$F(j\Omega) = \Omega_1 E \tau \sum_{n=-\infty}^{\infty} \text{Sa}\left(\frac{n\Omega_1 \tau}{2}\right) \delta(\Omega - n\Omega_1)$$



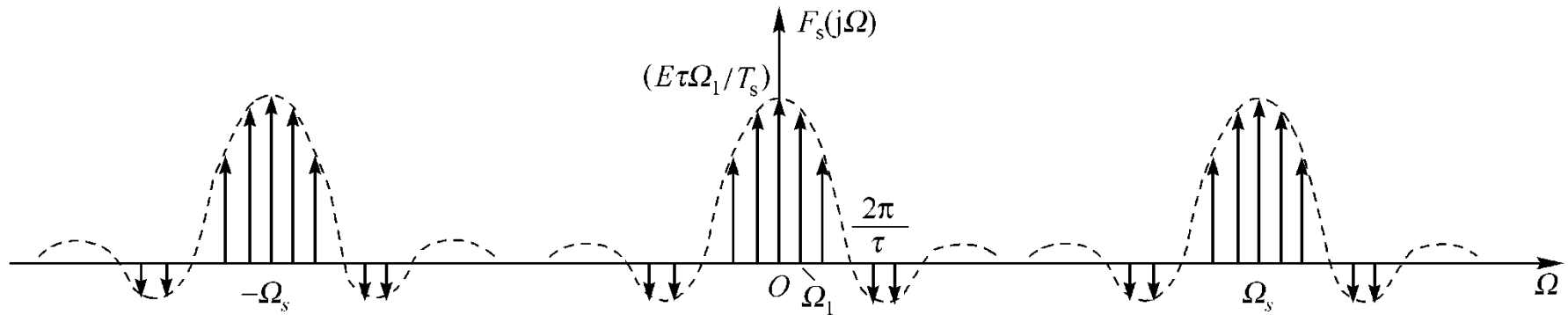
5.3.4 从采样信号恢复连续信号

若 $\tilde{f}(t)$ 被间隔为 T_s 的冲激序列所采样，便构成了周期矩形采样信号



5.3.4 从采样信号恢复连续信号

$$\begin{aligned} F_s(j\Omega) &= \frac{1}{T_s} \sum_{m=-\infty}^{\infty} F[j(\Omega - m\Omega_s)] \\ &= \frac{E\tau\Omega_1}{T_s} \sum_{m=-\infty}^{\infty} \sum_{n=-\infty}^{\infty} \text{Sa}\left(\frac{n\Omega_1\tau}{2}\right) \delta(\Omega - m\Omega_s - n\Omega_1) \end{aligned}$$



5.4 调制与解调

5.4.1 调制的概念及调制的分类

1. 调制的目的

- (1) 便于信号的辐射
- (2) 便于多路通信

2. 调制的分类

(1) 按调制信号 $g(t)$ 的不同进行分类

- a) 模拟调制: $g(t)$ 为模拟信号。典型波形为单频正弦波。
- b) 数字调制: $g(t)$ 为数字信号。典型代表为二进制数字脉冲序列。

(2) 按载波信号 $c(t)$ 的不同进行分类

- a) 连续波调制: $c(t)$ 为连续波形。典型代表为正弦波。
- b) 脉冲调制: $c(t)$ 为脉冲波形。典型代表为矩形脉冲序列。

5.4.1 调制的概念及调制的分类

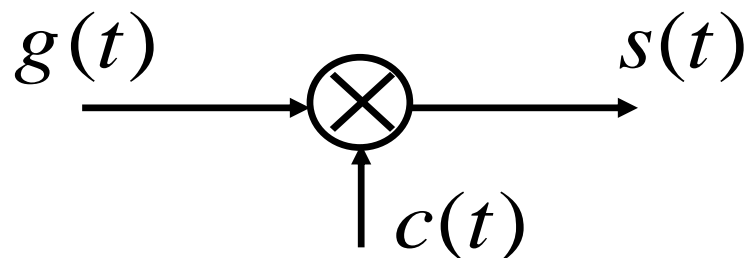
(3) 按调制器的功能不同进行分类

- a) 幅度调制（调幅）： $g(t)$ 改变 $c(t)$ 的幅度参数（即：载波 $c(t)$ 的幅度随 $g(t)$ 成比例地变化）。如：常规调幅（AM）、脉冲调幅(PAM)、抑制载波调幅(SC-AM)等。
- b) 频率调制（调频）： $g(t)$ 改变 $c(t)$ 的频率参数（即：载波 $c(t)$ 的频率随 $g(t)$ 成比例地变化）。如：调频（FM）、脉冲调频(PFM)等。
- c) 相位调制（调相）： $g(t)$ 改变 $c(t)$ 的相位参数（即：载波 $c(t)$ 的相位随 $g(t)$ 成比例地变化）。如：调相（PM）、脉冲调相(PPM)等。

调频与调相都表现为总相角受到调制，所以总称为角度调制（调角）。幅度调制为线性调制，角度调制为非线性调制。

5.4.2 调幅信号的傅里叶变换

调幅的一般模型



$g(t)$ ----- 调制信号

$c(t)$ ----- 载波信号

$s(t)$ ----- 已调制信号

$$s(t) = g(t)c(t) \quad (5.4-1)$$

根据 $g(t)$ 与 $c(t)$ 的不同，可分为以下几种情况：

5.4.2 调幅信号的傅里叶变换

1. 常规调幅 (AM)

$$g(t) = A_0 + f(t); \quad c(t) = \cos(\Omega_0 t + \theta_0)$$

A_0 ----- $g(t)$ 中的直流分量

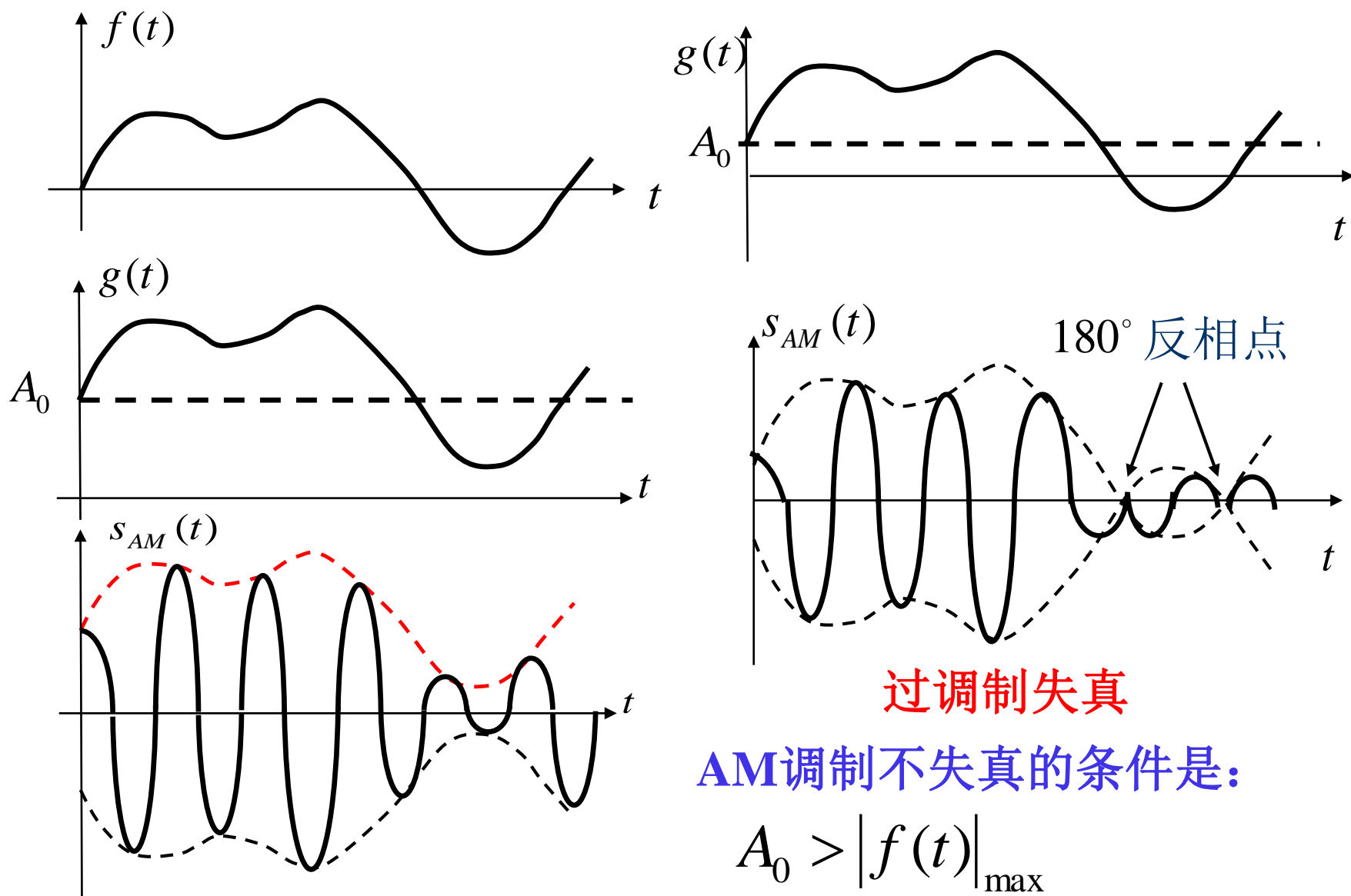
$f(t)$ ----- $g(t)$ 中载有信息的交变分量

为讨论问题方便起见, 设 $\theta_0 = 0$, 则

$$\begin{aligned} s_{AM}(t) &= [A_0 + f(t)] \cos \Omega_0 t \\ &= A_0 \cos \Omega_0 t + f(t) \cos \Omega_0 t \end{aligned} \quad (5.4-5)$$

由式 (5.4-5) 可知, 在 $f(t)$ 上增加一直流项 A_0 , 相当于在乘法器的输出中增加一与调制信号无关的载波项 (不含任何信息)

5.4.2 调幅信号的傅里叶变换



5.4.2 调幅信号的傅里叶变换

$$s_{AM}(t) = A_0 \cos \Omega_0 t + f(t) \cos \Omega_0 t$$

设: $\mathcal{F}[f(t)] = F(j\Omega), \quad \mathcal{F}[s_{AM}(t)] = S_{AM}(j\Omega)$

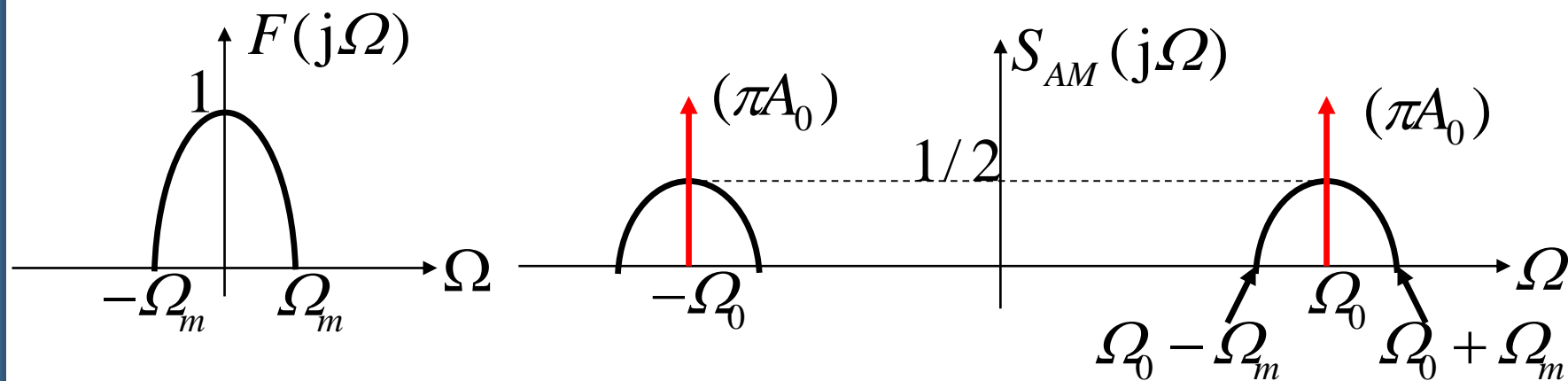
$$\because \mathcal{F}[\cos \Omega_0 t] = \pi[\delta(\Omega + \Omega_0) + \delta(\Omega - \Omega_0)]$$

$$\mathcal{F}[f(t) \cos \Omega_0 t] = \frac{1}{2} \{F[j(\Omega + \Omega_0)] + F[j(\Omega - \Omega_0)]\}$$

$$\begin{aligned} \therefore S_{AM}(j\Omega) &= \mathcal{F}[s_{AM}(t)] = \pi A_0 [\delta(\Omega + \Omega_0) + \delta(\Omega - \Omega_0)] \\ &\quad + \frac{1}{2} \{F[j(\Omega + \Omega_0)] + F[j(\Omega - \Omega_0)]\} \quad (7.3-6) \end{aligned}$$

5.4.2 调幅信号的傅里叶变换

$$S_{AM}(j\Omega) = \mathcal{F}[s_{AM}(t)] = \pi A_0 [\delta(\Omega + \Omega_0) + \delta(\Omega - \Omega_0)] \\ + \frac{1}{2} \{ F[j(\Omega + \Omega_0)] + F[j(\Omega - \Omega_0)] \}$$



把若干个要传送的信号分别搬移到不同的载频上，就可以在**同一信道内同时传送几个信号**。用这种方法构成的一个通信系统称为**频分多路复用**（**FDM, frequency-division multiplex**）系统。

5.4.2 调幅信号的傅里叶变换

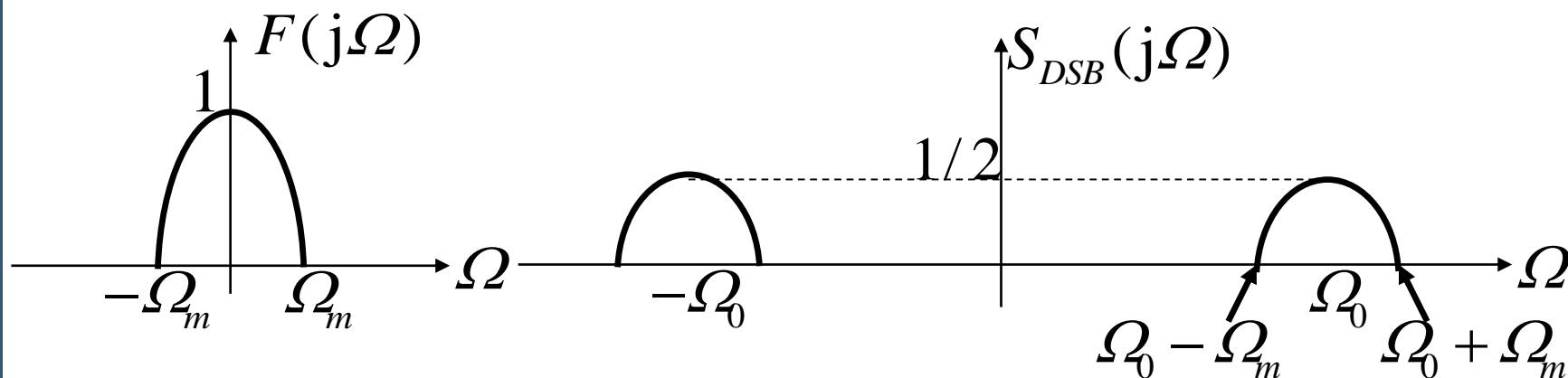
2. 双边带抑制载波调幅 (DSB)

$$s_{AM}(t) = [A_0 + f(t)] \cos \Omega_0 t$$

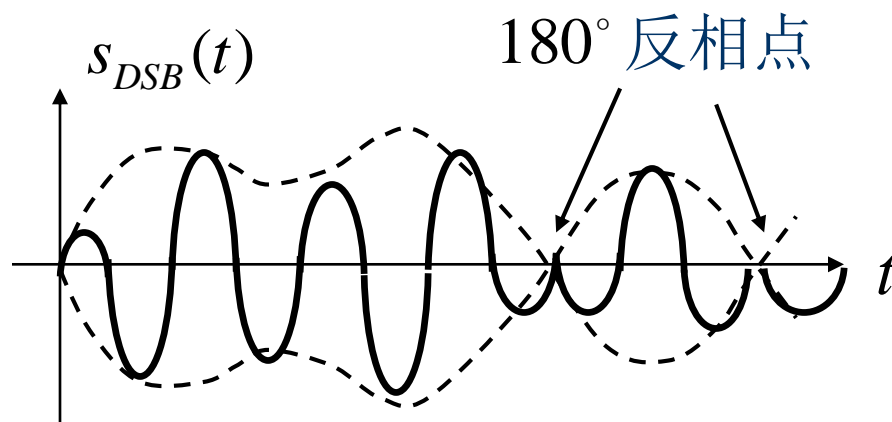
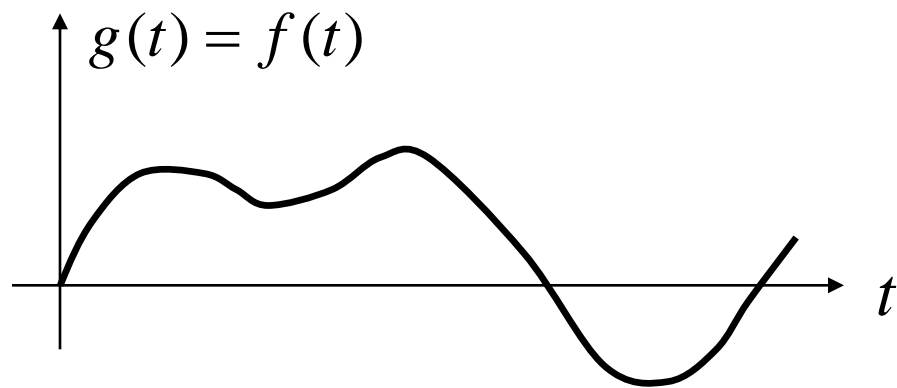
在上式中令 $A_0 = 0$, 则

$$s_{DSB}(t) = f(t) \cos \Omega_0 t \quad (5.4-7)$$

$$S_{DSB}(j\Omega) = \frac{1}{2} \{ F[j(\Omega + \Omega_0)] + F[j(\Omega - \Omega_0)] \} \quad (5.4-8)$$



5.4.2 调幅信号的傅里叶变换

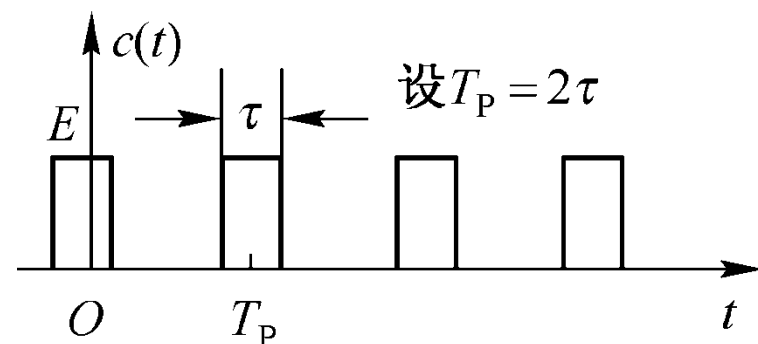


5.4.2 调幅信号的傅里叶变换

3. 脉冲幅度调制

载波信号是一个矩形脉冲串时，这种类型的幅度调制称为脉冲幅度调制（**PAM**）。

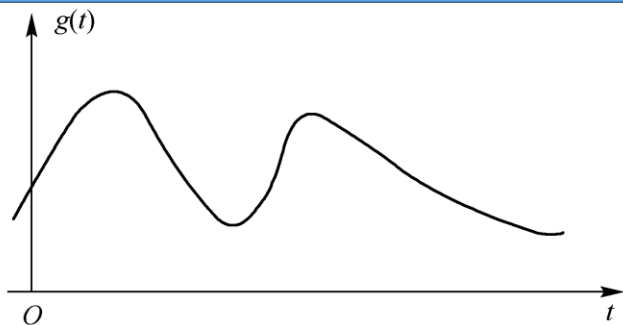
$$s_{\text{PAM}}(t) = g(t)c(t)$$



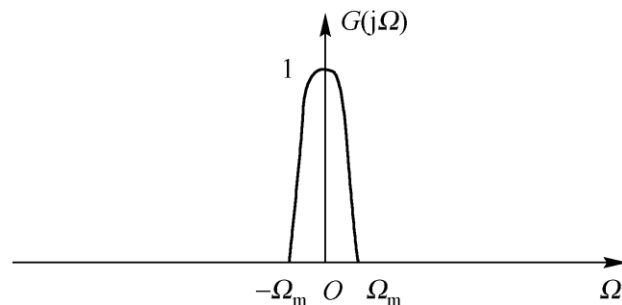
$$C(j\Omega) = \frac{2\pi E\tau}{T_p} \sum_{n=-\infty}^{\infty} \text{Sa}\left(\frac{n\Omega_p\tau}{2}\right) \delta(\Omega - n\Omega_p)$$

$$S_{\text{PAM}}(j\Omega) = \frac{E\tau}{T_p} \sum_{n=-\infty}^{\infty} \text{Sa}\left(\frac{n\Omega_p\tau}{2}\right) G[j(\Omega - n\Omega_p)]$$

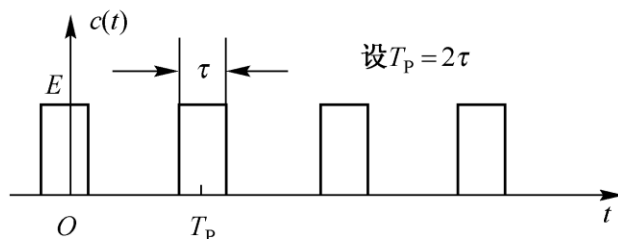
5.4.2 调幅信号的傅里叶变换



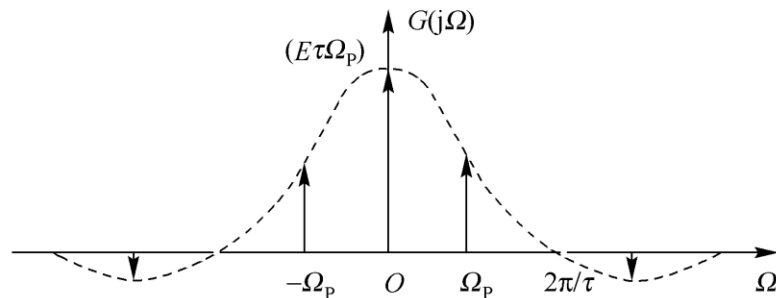
(a) 调制信号 $g(t)$



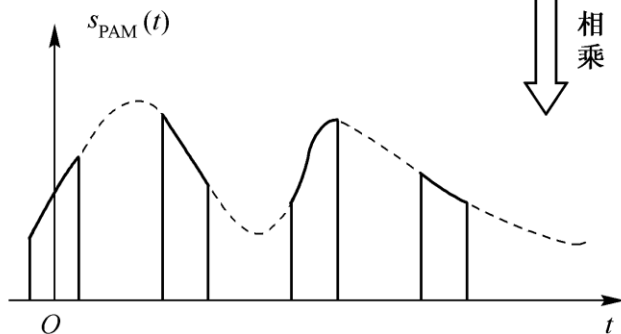
(d) $g(t)$ 的频谱 $G(j\Omega)$



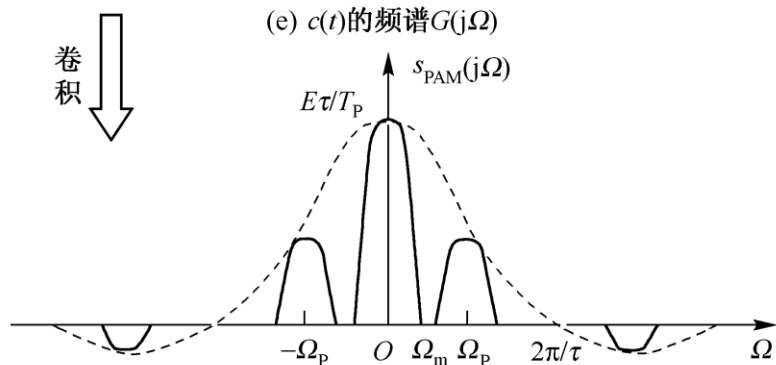
(b) 载波信号 $c(t)$



(e) $c(t)$ 的频谱 $G(j\Omega)$



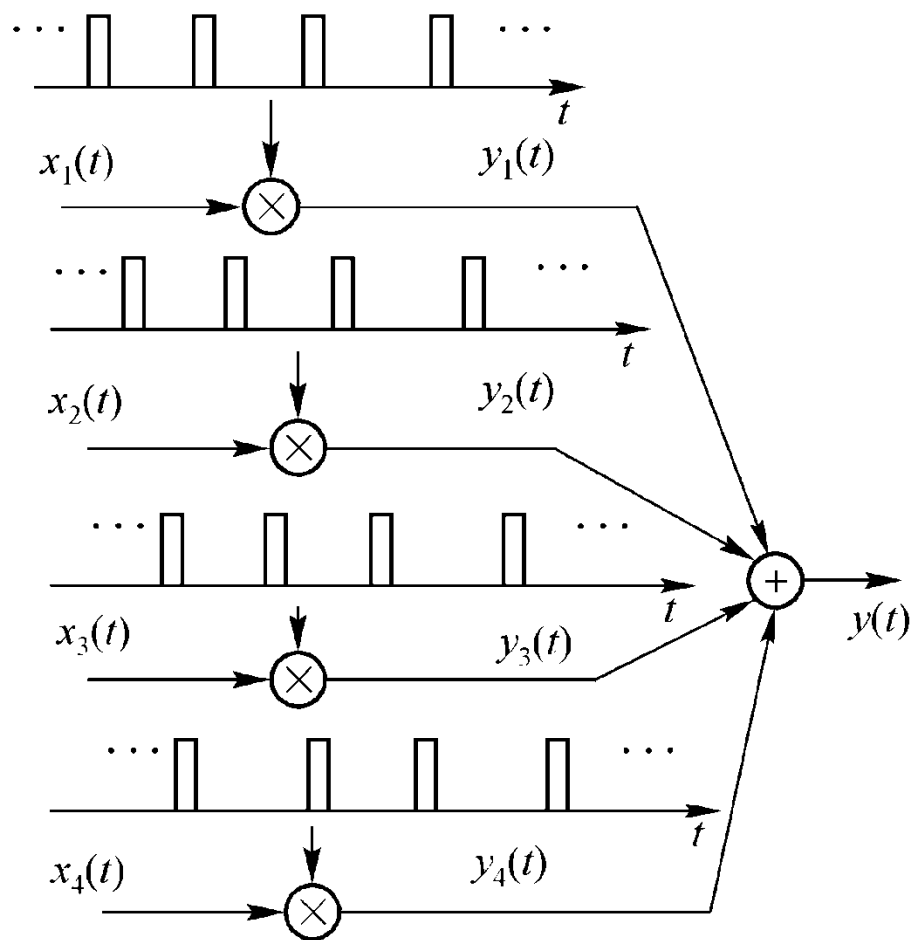
(c) 脉冲幅度调制信号 $s_{\text{PAM}}(t)$



(f) $s_{\text{PAM}}(t)$ 的频谱 $s_{\text{PAM}}(j\Omega)$

5.4.2 调幅信号的傅里叶变换

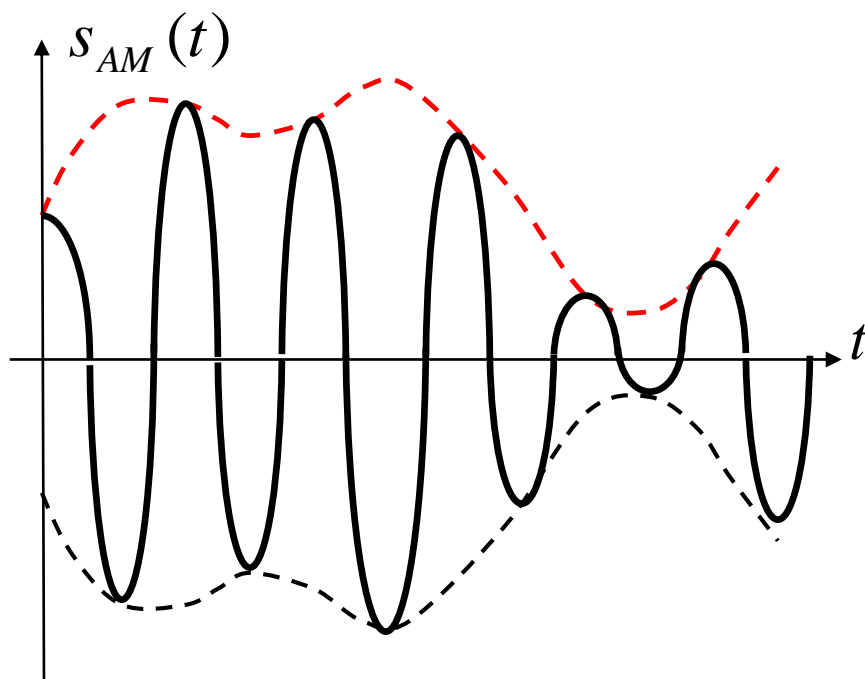
脉冲幅度调制的重要应用之一是在一个单的信道上传输多路信号。可以实现**时分多路复用**（**time-division multiplex**）



5.4.3 解调概念

解调又称为检波，它是从 $s(t)$ 恢复 $g(t)$ 的过程。

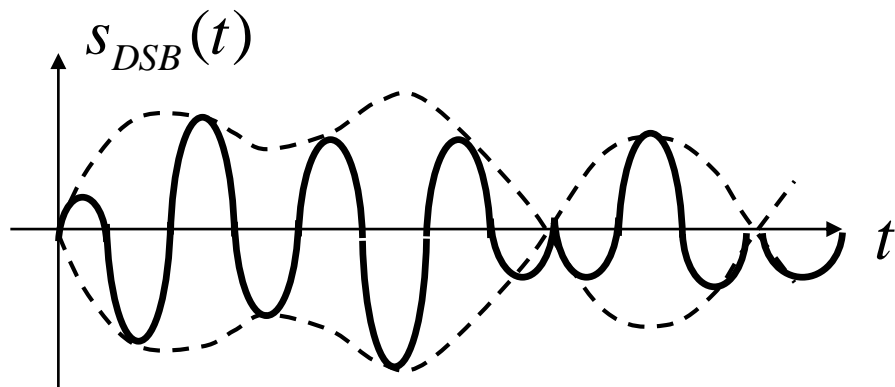
1. 常规调幅信号的解调



由左图可见： $s_{AM}(t)$ 的包络与 $g(t)$ 成线性关系。因此，可以采用最简单、廉价的**包络检波器**（由二极管、电阻、电容组成）来恢复原调制信号。

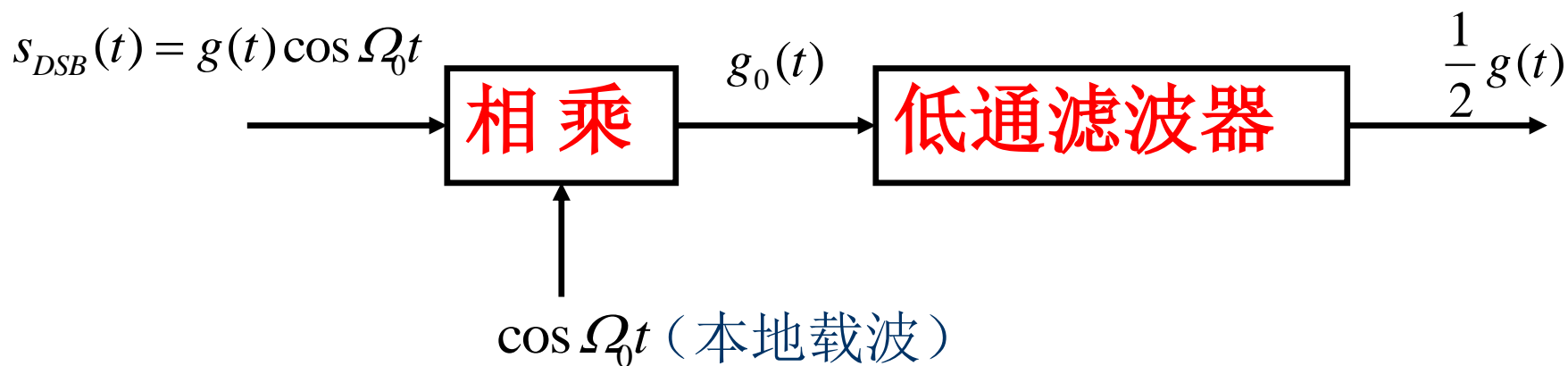
5.4.3 解调概念

2. 双边带抑制载波调幅信号的解调

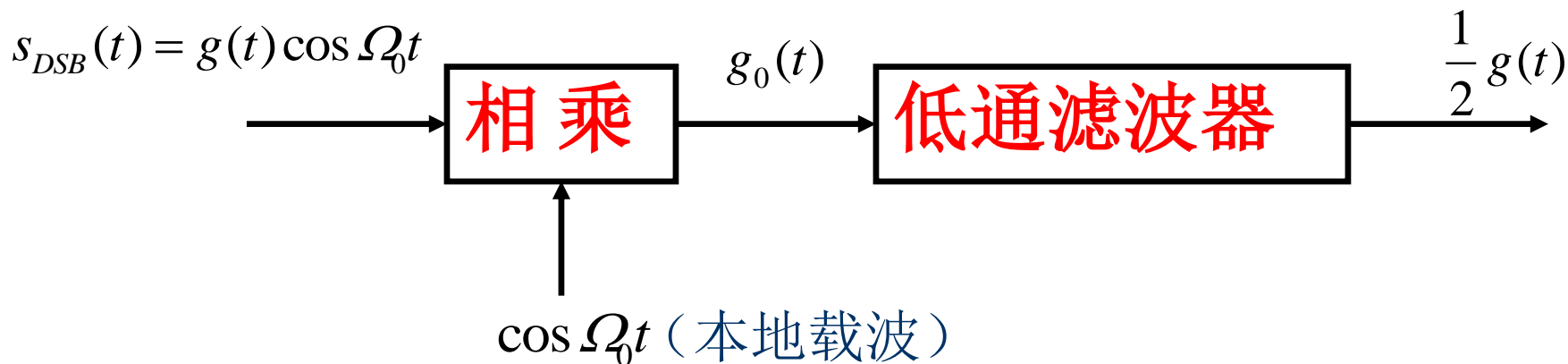


由左图可见： $s_{DSB}(t)$ 的包络并不与 $g(t)$ 成线性关系，而是随 $|g(t)|$ 而变化，因此其包络并不包含 $g(t)$ 的全部信息。因而不能采用包络检波的方法。

双边带抑制载波调幅信号的解调必须采用**相干（同步）解调**的方法。



5.4.3 解调概念



$$S_{DSB}(j\Omega) = \frac{1}{2} \{ F[j(\Omega + \Omega_0)] + F[j(\Omega - \Omega_0)] \} \quad (5.4-8)$$

$$G_0(j\Omega) = \frac{1}{2} \{ S_{DSB}[j(\Omega + \Omega_0)] + S_{DSB}[j(\Omega - \Omega_0)] \}$$

将式 (5.4-8) 代入上式得:

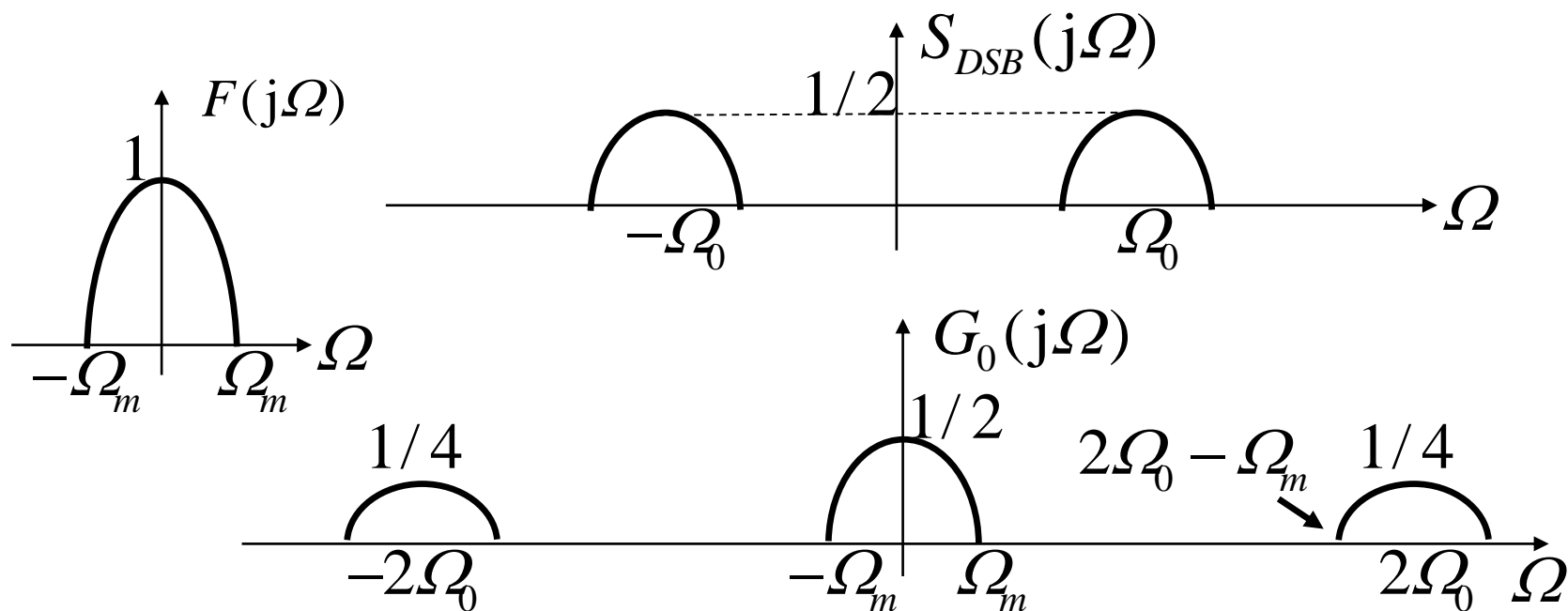
$$G_0(j\Omega) = \frac{1}{2} F(j\Omega) + \frac{1}{4} \{ F[j(\Omega + 2\Omega_0)] + F[j(\Omega - 2\Omega_0)] \} \quad (5.4-12)$$

5.4.3 解调概念

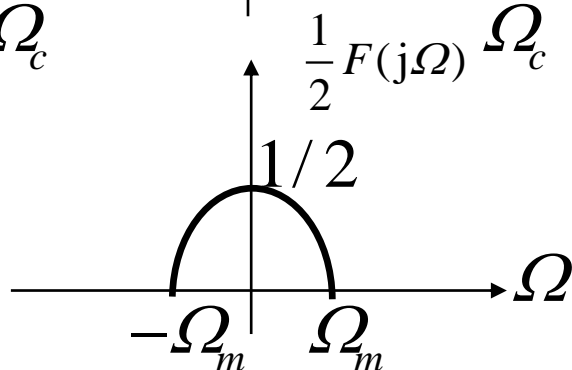
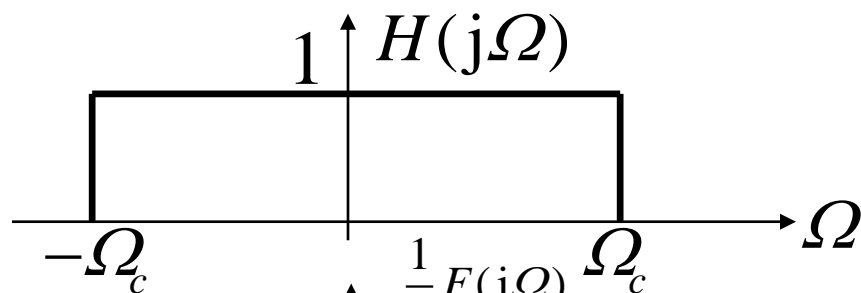
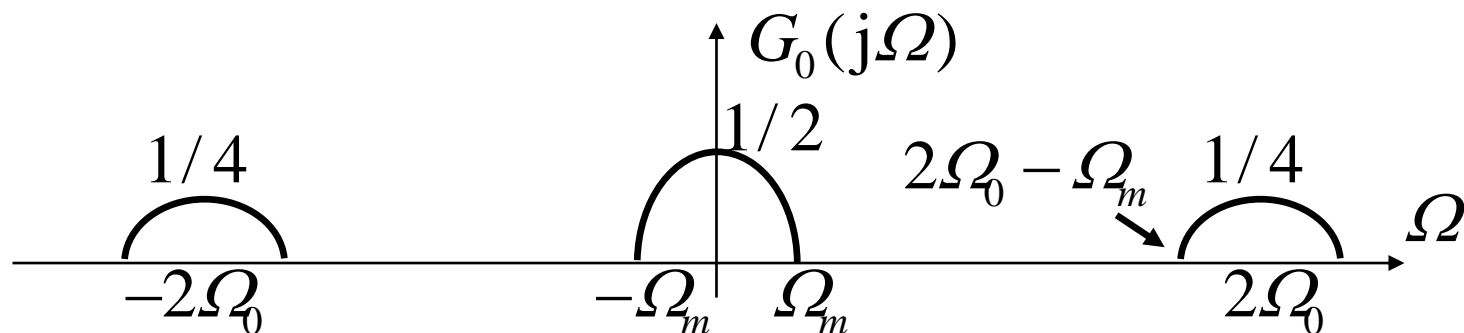
再通过一个理想低通滤波器，其截止频率 Ω_c 满足

$$\Omega_m \leq \Omega_c \leq 2\Omega_0 - \Omega_m \quad \text{即可取出 } \frac{1}{2}g(t)$$

$$G_0(j\Omega) = \frac{1}{2}F(j\Omega) + \frac{1}{4}\{F[j(\Omega + 2\Omega_0)] + F[j(\Omega - 2\Omega_0)]\}$$



5.4.3 解调概念



$$H(j\Omega) = [u(\Omega + \Omega_c) - u(\Omega - \Omega_c)]$$

$$\Omega_m \leq \Omega_c \leq 2\Omega_0 - \Omega_m$$

5.5 信号的频域采样与复用

5.5.1 信号的频域采样

设非周期连续信号 $f(t)$ 的傅里叶变换为 $F(j\Omega)$ ，也是连续的，仿照时域采样的方法，用周期性冲激谱序列 $\delta_\Omega(\Omega)$ 对 $F(j\Omega)$ 进行“采样”，这种做法称为频域采样，其中

$$\delta_\Omega(\Omega) = \sum_{n=-\infty}^{\infty} \delta(\Omega - n\Omega_s)$$

采样后的离散频谱 $F_s(j\Omega)$ 为：

$$F_s(j\Omega) = F(j\Omega)\delta_\Omega(\Omega) \quad (5.5-1)$$

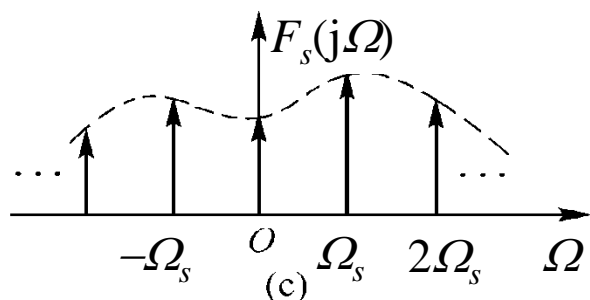
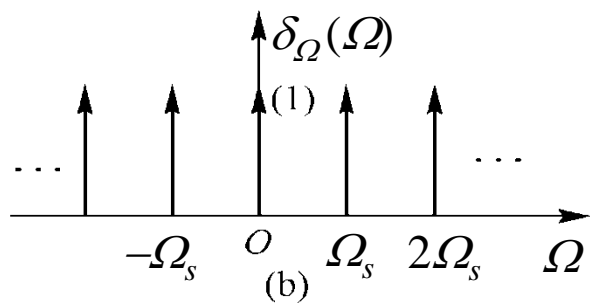
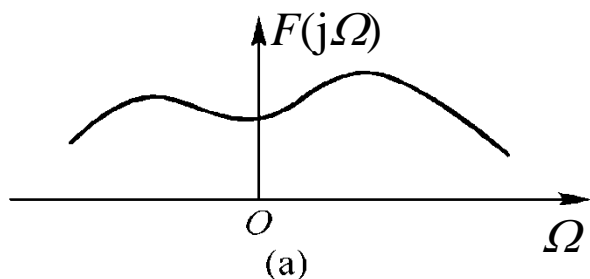
令连续频谱 $F(j\Omega)$ 的傅里叶逆变换为： $f(t) = \mathcal{F}^{-1}[F(j\Omega)]$

采样谱脉冲 $\delta_\Omega(\Omega)$ 的傅里叶逆变换为： $\delta_T(t) = \mathcal{F}^{-1}[\delta_\Omega(\Omega)]$

采样频谱 $F_s(j\Omega)$ 的傅里叶逆变换为： $f_s(t) = \mathcal{F}^{-1}[F_s(j\Omega)]$

5.5.1 信号的频域采样

则频率采样间隔为 Ω_s ，则连续频谱 $F(j\Omega)$ 、采样谱脉冲 $\delta_\Omega(\Omega)$ 和采样后频谱 $F_s(j\Omega)$ 如图所示。



$$\delta_\Omega(\Omega) = \sum_{n=-\infty}^{\infty} \delta(\Omega - n\Omega_s)$$

$$\delta_T(t) = \frac{1}{2\pi} \sum_{n=-\infty}^{\infty} e^{jn\Omega_s t} = \frac{1}{\Omega_s} \sum_{m=-\infty}^{\infty} \delta(t - mT_s)$$

$$\text{其中: } T_s = \frac{2\pi}{\Omega_s}$$

$$F_s(j\Omega) = F(j\Omega)\delta_\Omega(\Omega)$$

$$= F(j\Omega) \sum_{n=-\infty}^{\infty} \delta(\Omega - n\Omega_s)$$

$$= \sum_{n=-\infty}^{\infty} F(jn\Omega_s) \delta(\Omega - n\Omega_s)$$

5.5.1 信号的频域采样

依据卷积定理：

$$F_s(j\Omega) = F(j\Omega)\delta_{\Omega_s}(\Omega) = F(j\Omega) \sum_{n=-\infty}^{\infty} \delta(\Omega - n\Omega_s)$$

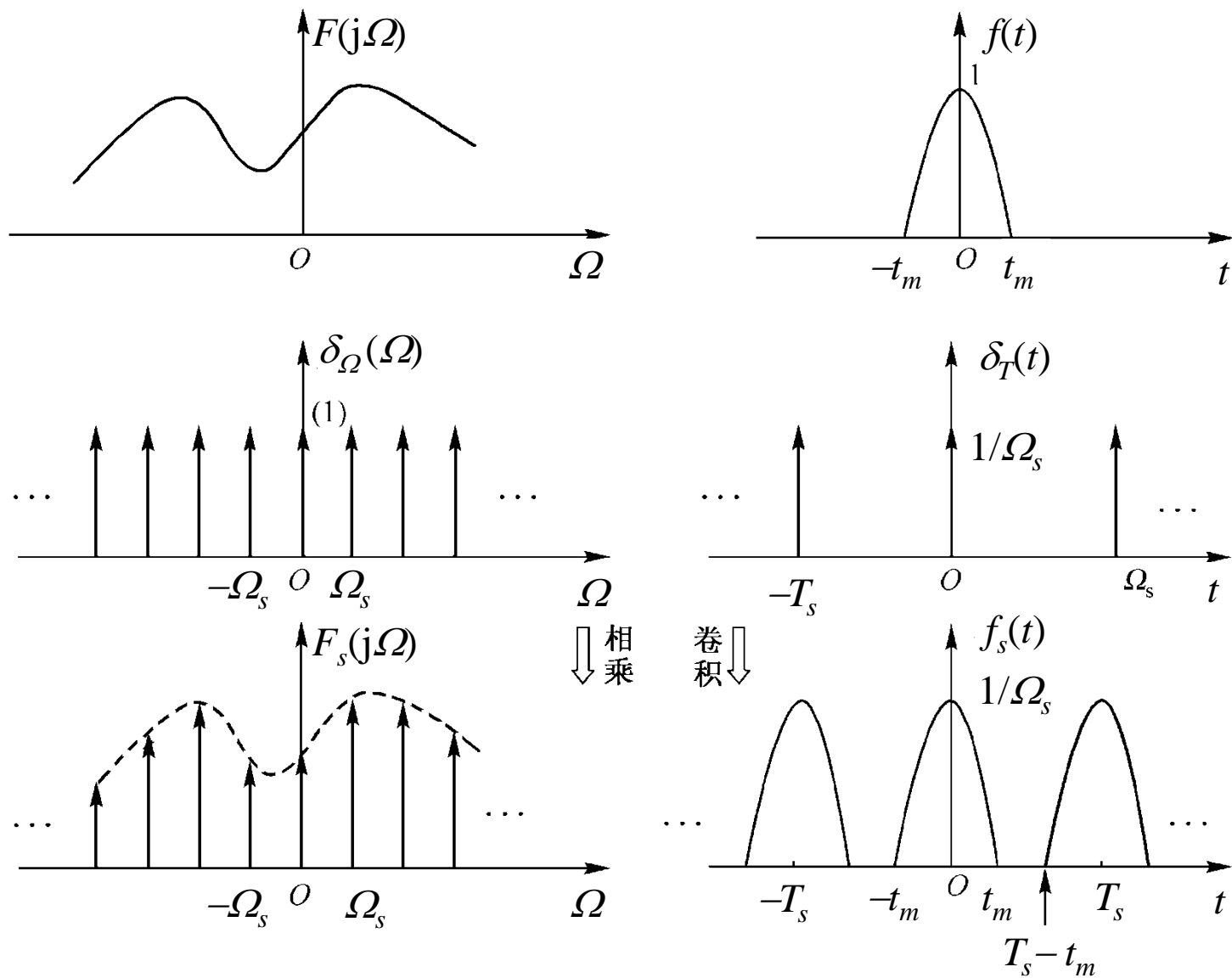
则：

$$f_s(t) = f(t) * \delta_T(t) = f(t) * \frac{1}{\Omega_s} \sum_{m=-\infty}^{\infty} \delta(t - mT_s)$$

$$\text{即：} \quad f_s(t) = \frac{1}{\Omega_s} \sum_{m=-\infty}^{\infty} f(t - mT_s)$$

该式说明：若频谱 $F(j\Omega)$ 被间隔为 Ω_s 的周期冲激谱序列 $\delta_{\Omega_s}(\Omega)$ 采样，得到采样频谱 $F_s(j\Omega)$ ，则在时域中等效于信号 $f(t)$ 以 T_s （ $T_s=2\pi/\Omega_s$ ）为周期进行重复。如图所示：

5.5.1 采样信号的傅里叶变换



5.5.1 信号的频域采样

频域采样定理：一个时间受限在范围 $(-t_m, t_m)$ 的信号 $f(t)$ ，其频谱 $F(j\Omega)$ 在频域中被间隔为 Ω_s 的冲激谱序列采样，则采样后的频谱 $F_s(j\Omega)$ 可以唯一表示原来信号 $f(t)$ 的条件是：重复周期 T_s 必须满足

$$T_s \geq 2t_m$$

或频率采样间隔：

$$f_s = \frac{\Omega_s}{2\pi} \leq \frac{1}{2t_m}$$

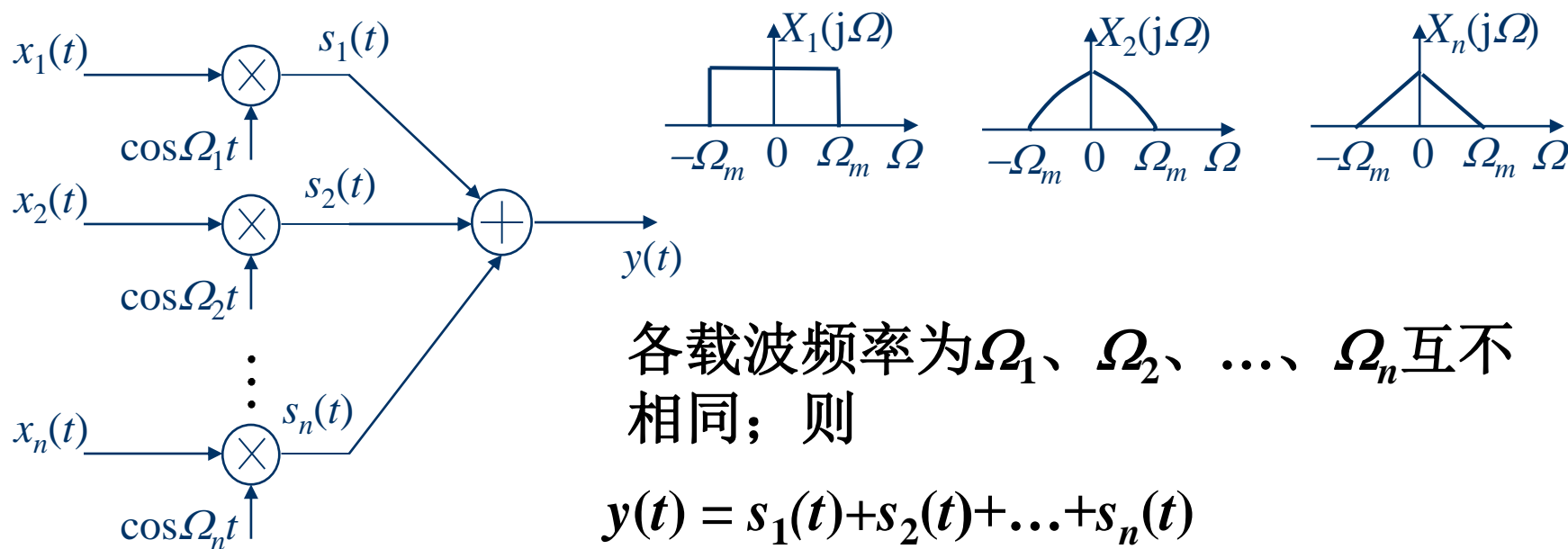
其中：

$$\Omega_s = \frac{2\pi}{T_s}$$

5.5.2 频分复用和时分复用

多路复用： 为了提高信道利用效率，使多个信号沿同一信道传输而互相不干扰，称为多路复用。

1. 频分复用： 设信号的频谱分别如图所示



各载波频率为 $\Omega_1, \Omega_2, \dots, \Omega_n$ 互不相同；则

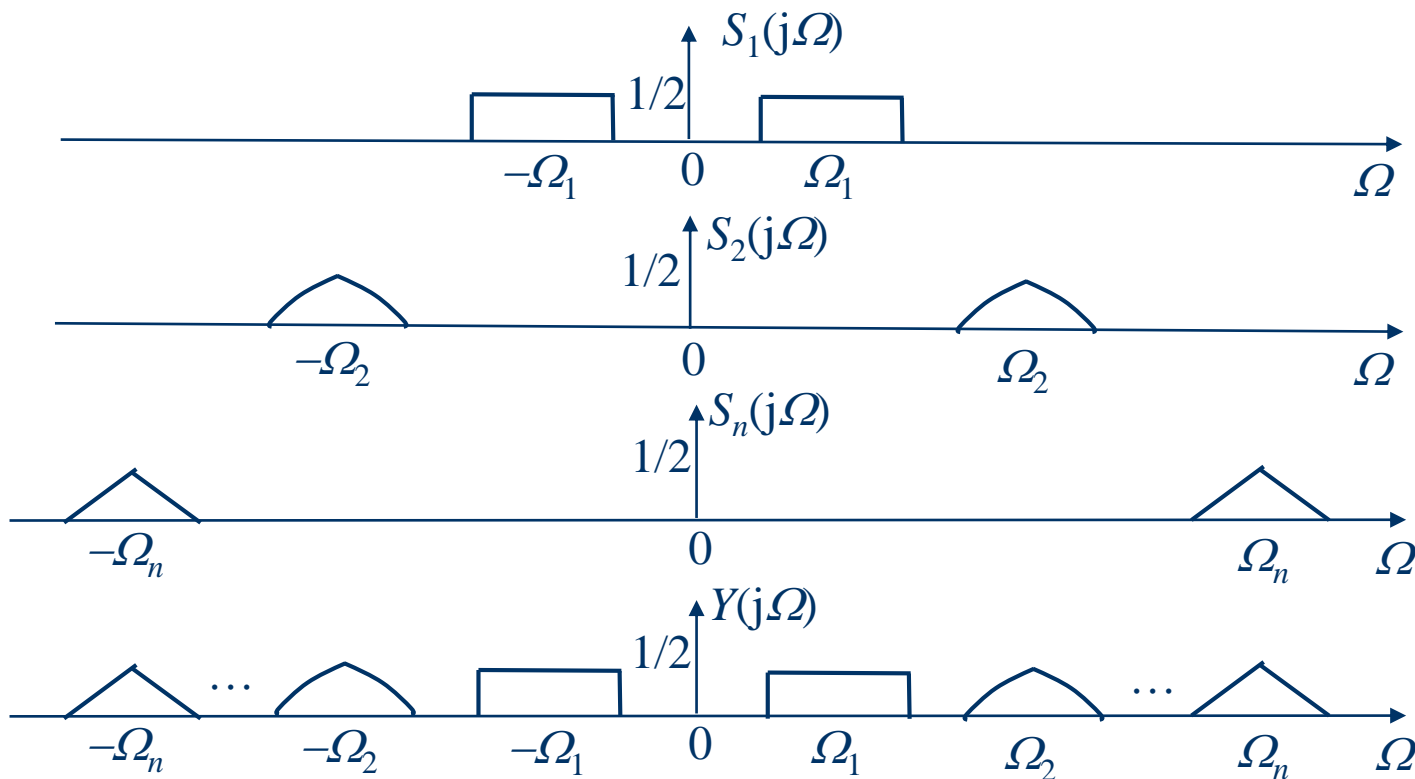
$$y(t) = s_1(t) + s_2(t) + \dots + s_n(t)$$

$$Y(j\Omega) = S_1(j\Omega) + S_2(j\Omega) + \dots + S_n(j\Omega)$$

5.5.2 频分复用和时分复用

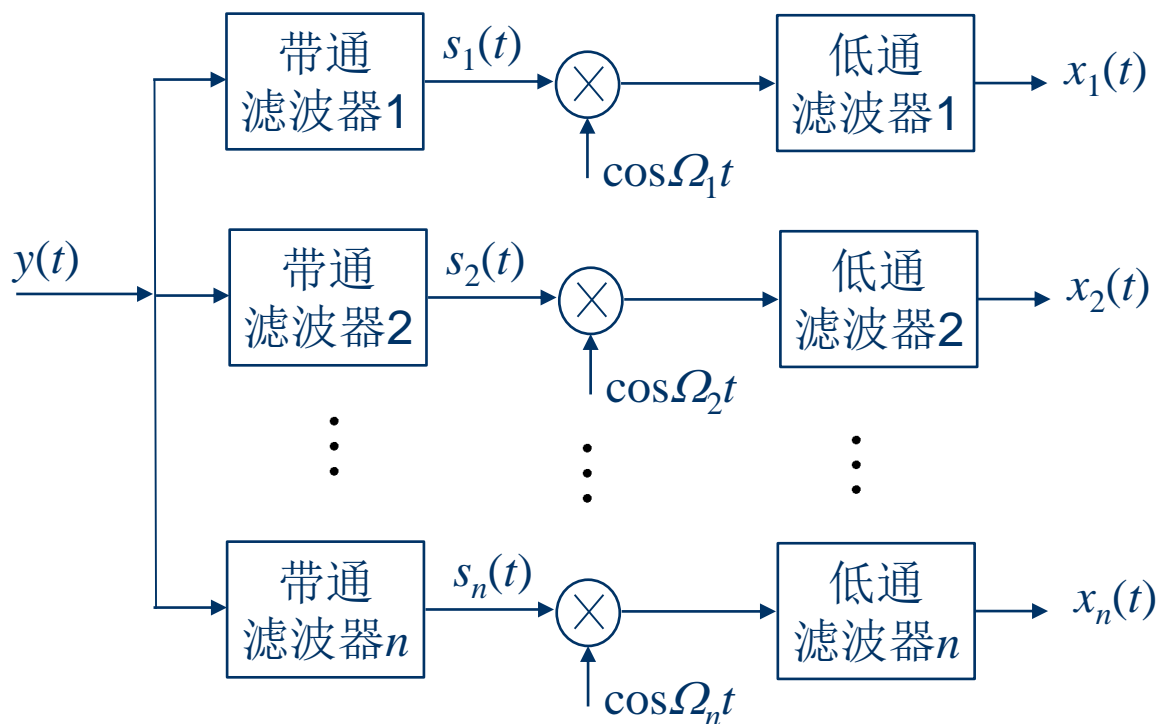
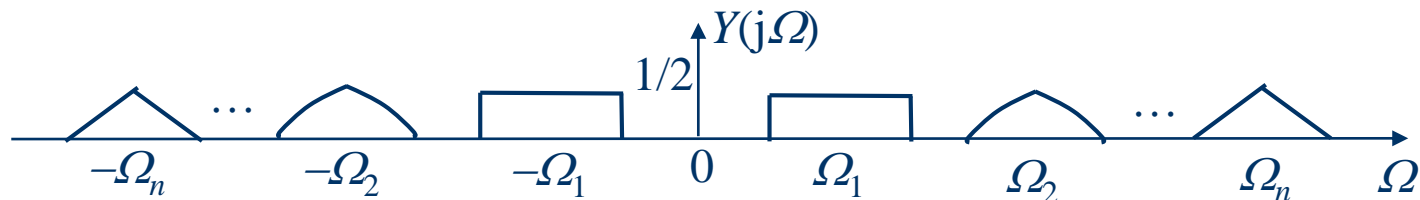
1. 频分复用：设信号 $x_1(t)$ 、 $x_2(t)$ 、...、 $x_n(t)$ 的频谱分别如图所示

$$s_i(t) = x_i(t)\cos\Omega_i t \quad S_i(j\Omega) = \frac{1}{2}[X_i(j\Omega + j\Omega_i) + X_i(j\Omega - j\Omega_i)]$$



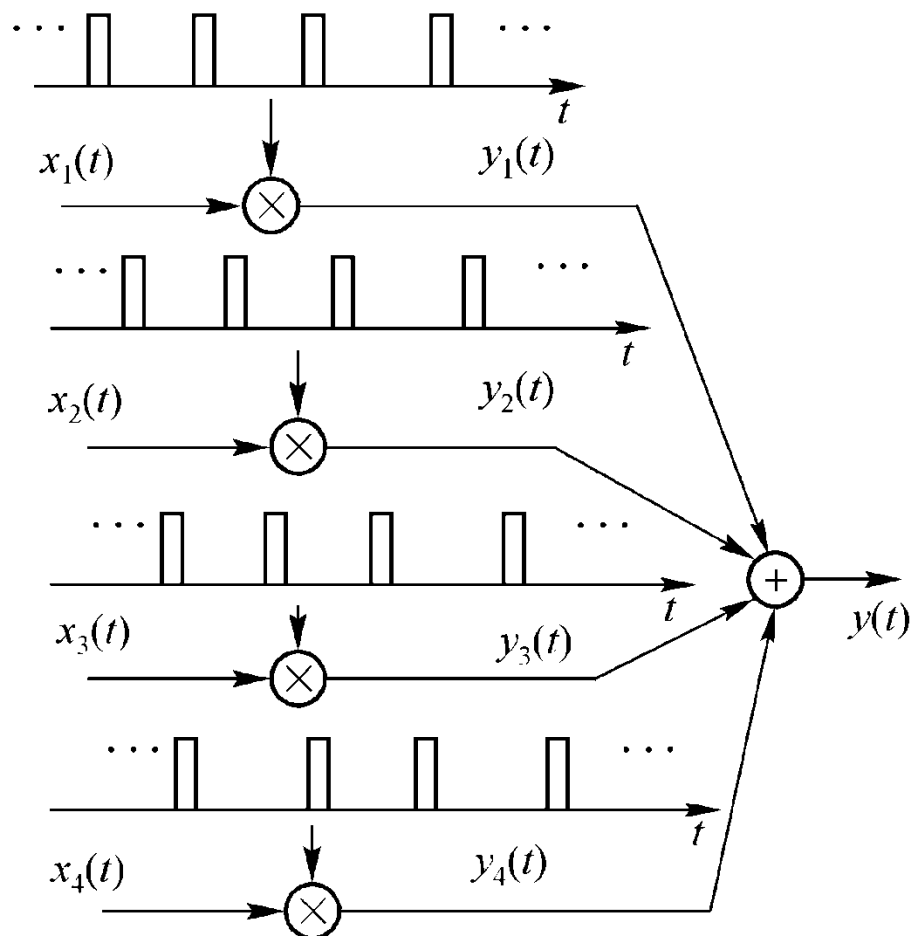
5.5.2 频分复用和时分复用

1. 频分复用：接收时



5.5.2 频分复用和时分复用

2. 时分复用：脉冲幅度调制的应用中，离散时间信号处理中大量使用



5.6 MATLAB在信息处理与通信中的应用

例5.6-2 设时域信号 $f(t) = \text{Sa}(\pi t)$ ，现用采样频率 $\Omega_1 = 1.5\pi \text{ rad/s}$ 和 $\Omega_2 = 2.5\pi \text{ rad/s}$ 对其进行采样，用**MATLAB**绘制其时域采样信号序列及对应的频域信号的幅度谱。

解：根据采样定理可知，信号奈奎斯特采样频率为 2π ，故采样频率 Ω_1 会发生频谱混叠，采样频率 Ω_2 不会发生频谱混叠。

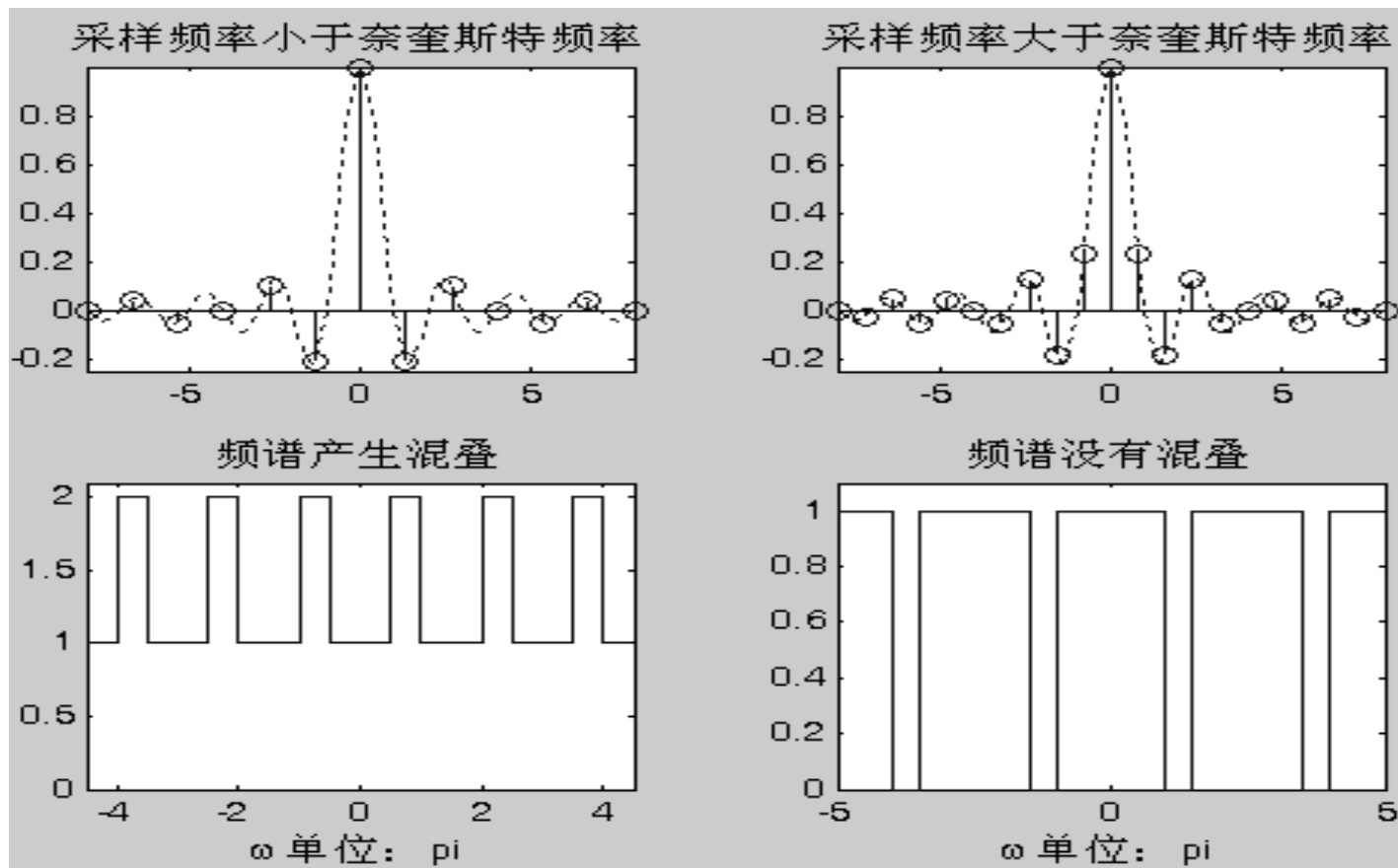
```
n1=-8:4/3:8;f1=sinc(n1);subplot(2,2,1);
stem(n1,f1);hold on;t1=-8:0.1:8;
f2=sinc(t1);plot(t1,f2,':');
title('采样频率小于奈奎斯特频率');axis([-8 8 -0.25 1]);
n2=-8:4/5:8;f3=sinc(n2);subplot(2,2,2);
stem(n2,f3);hold on;t2=-8:0.1:8;
f4=sinc(t2);plot(t2,f4,':');
title('采样频率大于奈奎斯特频率');axis([-8 8 -0.25 1]);
x1=[-4.5*pi:0.001:4.5*pi];d1=[-4.5*pi:1.5*pi:4.5*pi];subplot(2,2,3);
y1=pulstran(x1+0.75*pi,d1,'rectpuls',0.5*pi);
plot(x1/pi,y1+1);axis([-4.5 4.5 0 2.1]);
```

%绘制Sa函数包络

%产生脉冲串

5.6 MATLAB在信息处理与通信中的应用

```
title('频谱产生混叠');xlabel('\omega 单位: pi');  
x2=[-5*pi:0.001:5*pi];d2=[-5*pi:2.5*pi:5*pi];subplot(2,2,4);  
y2=pulstran(x2,d2,'rectpuls',2*pi); %产生脉冲串  
plot(x2/pi,y2);axis([-5 5 0 1.1]);  
title('频谱没有混叠');xlabel('\omega 单位: pi');
```



5.6 MATLAB在信息处理与通信中的应用

例5.6-3 已知信号 $g_1(t) = 1 + 0.6\cos \pi t$ 和 $g_2(t) = 1 + 1.4\cos \pi t$;

通过载波信号 $c(t) = \cos 500t$ 的调制，画出 $g_1(t)$ 和 $g_2(t)$ 的波形，并画出已调制信号的波形及其频谱。根据调制信号波形，哪种信号可以满足常规调幅的条件？

解：调制信号 $g_1(t)$ 和 $g_2(t)$ 与高频载波相乘后得到已调制信号

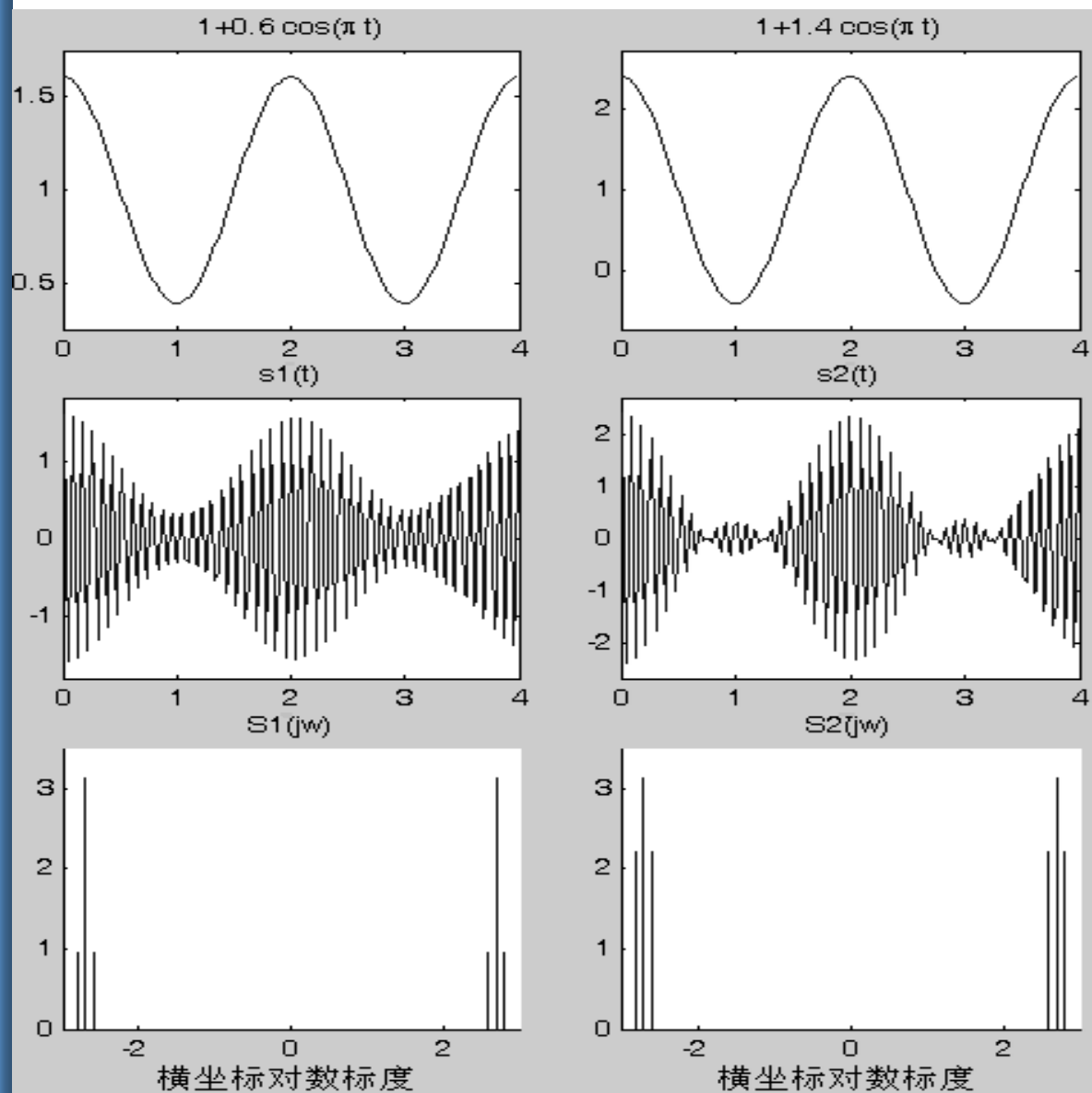
$$s_1(t) = g_1(t)c(t) \text{ 和 } s_2(t) = g_2(t)c(t)$$

用**MATLAB**绘制的信号波形和频谱的程序如下：

5.6 MATLAB在信息处理与通信中的应用

```
syms t;g1='1+0.6*cos(pi*t)';g2='1+1.4*cos(pi*t)';
subplot(321);ezplot(g1,[0,4]);
subplot(322);ezplot(g2,[0,4]);
s1='cos(500*t)*(1+0.6*cos(pi*t))';
s2='cos(500*t)*(1+1.4*cos(pi*t))'; %计算已调制信号
subplot(323);ezplot(s1,[0,4]);title('s1(t)');
subplot(324);ezplot(s2,[0,4]);title('s2(t)');
subplot(325);line([-2.8 -2.8],[0.3*pi 0]);xlabel('横坐标对数标度');
line([-2.7 -2.7],[0 pi]);line([-2.6 -2.6],[0.3*pi 0]);
line([2.8 2.8],[0.3*pi 0]);line([2.7 2.7],[0 pi]);
line([2.6 2.6],[0.3*pi 0]);axis([-3 3 0 3.5]);title('S1(jw)');
subplot(326);line([-2.8 -2.8],[0.7*pi 0]);xlabel('横坐标对数标度');
line([-2.7 -2.7],[0 pi]);line([-2.6 -2.6],[0.7*pi 0]);
line([2.8 2.8],[0.7*pi 0]);line([2.7 2.7],[0 pi]);
line([2.6 2.6],[0.7*pi 0]);axis([-3 3 0 3.5]);title('S2(jw)');
```


5.6 MATLAB在信息处理与通信中的应用



常规调幅的要求 $g(t)$ 始终大于零，显然信号 $g_1(t)$ 满足常规调幅条件， $s_1(t)$ 的包络与 $g_1(t)$ 成正比。而信号 $g_2(t)$ 不满足常规调幅条件， $s_2(t)$ 的包络与 $g_2(t)$ 不成正比。

本章小结

1. 线性时不变连续时间系统的频率响应特性
2. 无失真传输系统和理想低通滤波器
频率响应及冲激响应
3. 连续时间信号的采样及采样定理
4. 调制与解调的基本概念
幅度调制和相干解调
5. 频域采样及复用技术